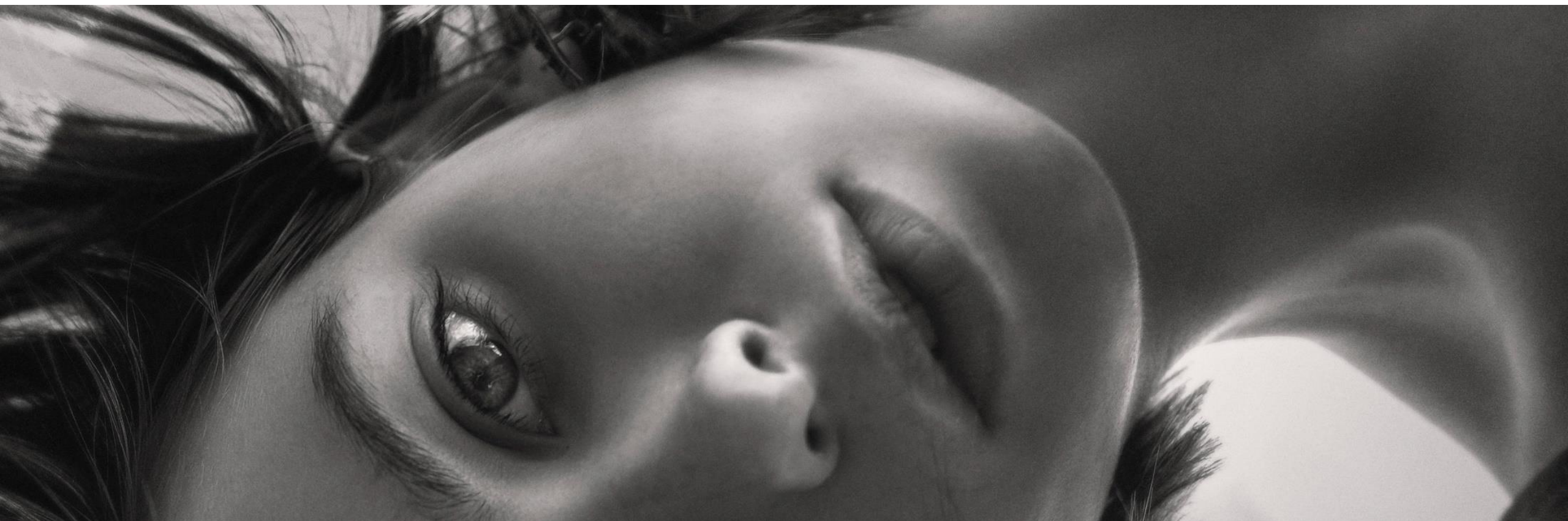




EleVastin™

Free from gravity



People make our name



FREE FROM GRAVITY

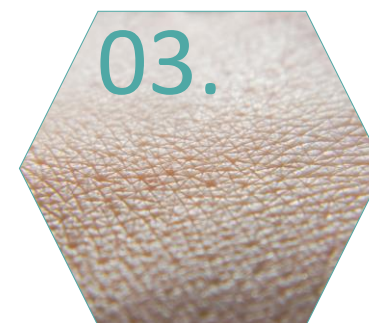
INCI
Betaine/Water/Propanediol/Murraya
koenigii stem extract



GÊNESIS



UMA PLANTA
UM PROCESSO



NA PELE



CLINICAMENTE
COMPROVADO



ESPAÇO DO
FORMULADOR

01.

GÊNESIS



PELE FLÁCIDA O PIOR DOS CENÁRIOS



18-25 anos

O temor principal



*“Pele flácida, braços
pendentes, bochechas caídas”*

60-70 anos

A dura realidade

“Afrouxamento generalizado!!!”



*“Eu tenho a sensação de que as
minhas orelhas cresceram”*

26-59 anos

Um sintoma entre outros



*“Rugas / linhas de expressão
Flacidez
Menos lisa
Mais frágil
Precisa de mais hidratação
Falta de elasticidade
Manchas / marcas”*



- Pesquisa exploratória sobre as percepções do envelhecimento da pele e práticas em relação aos cuidados com a pele
- 4 Focus group em 2017, França

“SE VOCÊ NÃO LUTA CONTRA A GRAVIDADE, A SUA PELE CAI”

Um vínculo claramente estabelecido entre a flacidez da pele e a gravidade ⁽²⁾ ⁽³⁾

Máxima gravidade
Posição vertical

- Gera alterações principalmente na parte inferior da face (sulcos nasogenianos, ptose inferior da face, rugas criadas por ptose, rugas labiais ...)
- Rugas na testa ou pés de galinha não são realmente afetadas
- Idosos são os mais afetados

Mínima gravidade
Posição supino

- As dobras profundas da pele diminuem consideravelmente
- O rosto parece mais arredondado (devido ao aumento da largura facial)

PERCEPÇÃO FACIAL DISTORCIDA⁽¹⁾ (2)

O rosto sujeito à gravidade dá uma aparência de tristeza, fadiga, depressão e velhice.



3G

O rosto livre de gravidade parece mais jovem, feliz, com uma expressão confiante e atraente



0G

Neste estudo inovador, Dior comparou fotos tiradas de uma mulher pulando em um trampolim. As diferentes fases do salto representam diferentes níveis de pressão da gravidade. ⁽²⁾



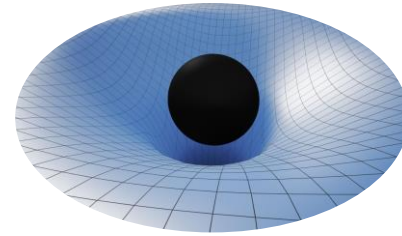
O que aconteceria se um ingrediente cosmético pudesse oferecer suporte à pele, aumentando a sua capacidade de **resistir à pressão** resultando em **uma aparência da face livre da gravidade** ?

FOCO NA ELASTICIDADE

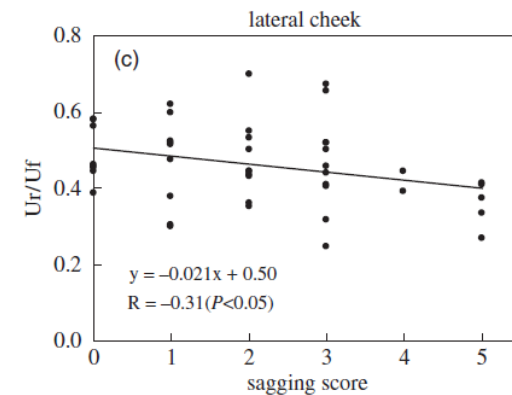
A propriedade de um material de recuperar a sua forma inicial após tração, torção ou impacto.

Um parâmetro central para o funcionamento dos tecidos humanos (pulmões, válvulas cardíacas, pele ...)

A elasticidade da pele garante proteção contra pressões mecânicas externas através da deformação reversível de sua estrutura



Um **componente chave na flacidez da pele**⁽¹⁾



⁽¹⁾ Ezure, T., Hosoi, J., Amano, S. and Tsuchiya, T. (2009), Sagging of the cheek is related to skin elasticity, fat mass and mimetic muscle function. *Skin Research and Technology*, 15: 299-305

A COMPLEXA ESTRUTURA DAS FIBRAS ELÁSTICAS

Um **núcleo de elastina** rodeado por **microfibrilas**

Proteína insolúvel e estável, aproximadamente 1000 vezes mais flexível que o colágeno.

Filamentos com grânulos que lhe conferem extensibilidade de longo alcance. Contribui para a deformação elástica dos tecidos.

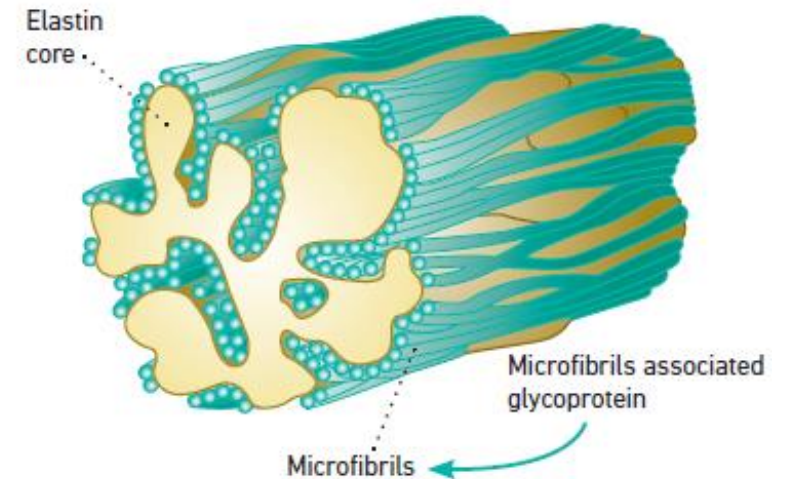
Varios componentes participam na **montagem** funcional das fibras elásticas

Fibrilina: glicoproteína que inclui microfibrilas

Fibrilina-1: a mais abundante

Proteínas associadas a microfibrilas

Fibulina-5: contribui para a proteção da tropoelastina antes da reticulação e para o alinhamento adequado da elastina na rede de microfibrilas



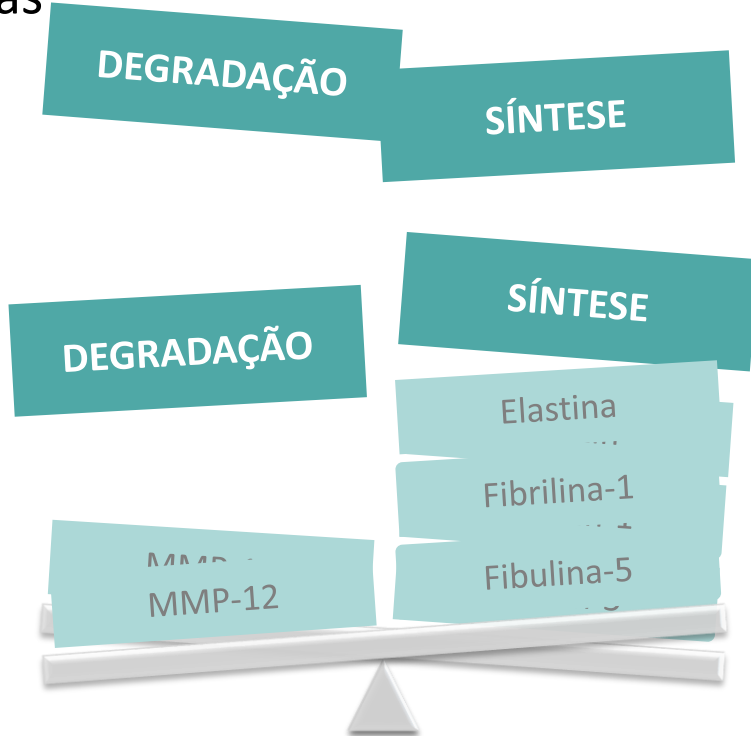
ELASTOGÊNESE DURANTE O ENVELHECIMENTO DA PELE



- (1) Langton, A. K., Alessi, S., Hann, M., Chien, A. L. L., Kang, S., Griffiths, C. E. M., & Watson, R. E. B. (2019). Aging in Skin of Color: Disruption to Elastic Fiber Organization Is Detrimental to Skin's Biomechanical Function. *Journal of Investigative Dermatology*, 139(4), 779-788. <https://doi.org/10.1016/j.jid.2018.10.026>
- (2) Jin Ho Chung 1 , Jin Young Seo, Mi Kyoung Lee, Hee Chul Eun, Joo Heung Lee, Sewon Kang, Gary J Fisher, John J Voorhees, Ultraviolet modulation of human macrophage metalloelastase in human skin in vivo, *J Invest Dermatol*, 2002, 119(2):507-12

REVERTER O EQUILÍBRIO SÍNTESE/ DEGRADAÇÃO

Abordando os principais aspectos para renovar a rede de fibras elásticas





02.

UMA PLANTA, UM PROCESSO



MURRAYA KOENIGII

Nomes comuns: Kaloupilé, folha de Curry (árvore)

Da família *Rutaceae*

Arbusto semidecíduo e aromático

Folhas perfumadas e fortemente aromáticas

UMA PLANTA, UM PROCESSO



UMA PLANTA AYURVÉDICA MULTIFUNCIONAL

Procede da Índia e da Tailândia
Amplamente cultivada no Oceano Índico



PROPRIEDADES MEDICINAIS⁽¹⁾

Medicina tradicional - Múltiplas recomendações terapêuticas

Folhas usadas em infusões ou decocções (mas também as cascas, raízes ou frutos)

Alivia a sensação de queimação, doenças de pele, coceira ou inflamação.

Propriedades curativas

Composição molecular rica



USOS EM CULINÁRIA

Comumente usado na culinária indiana, cingalesa, birmanesa ou crioula.

Folhas aromáticas usadas como condimento em refeições

Folhas frescas, folhas secas em pó ou óleos essenciais

Picante, amargo, refrescante e ligeiramente ácido.

UMA PLANTA, UM PROCESSO

FONTE TOTALMENTE RASTREÁVEL



Caules frondosos provenientes da Ilha La Réunion, por nosso parceiro local de longa data

Cultivada em terrenos privados sem fertilizantes

Colheita manual em quantidades limitadas (máx. duas vezes por ano e apenas 1/3 das hastes) para preservar o crescimento das plantas

Secagem ao ar livre ou em secador específico, dependendo das condições climáticas e seguindo especificações rígidas.





ESTRATÉGIA QUÍMICA E BIOGUIADA

Avaliação extensiva de novos solventes naturais e convencionais.

Processo de decisão baseado em:

Riqueza da composição fitoquímica

Naturalidade dos solventes

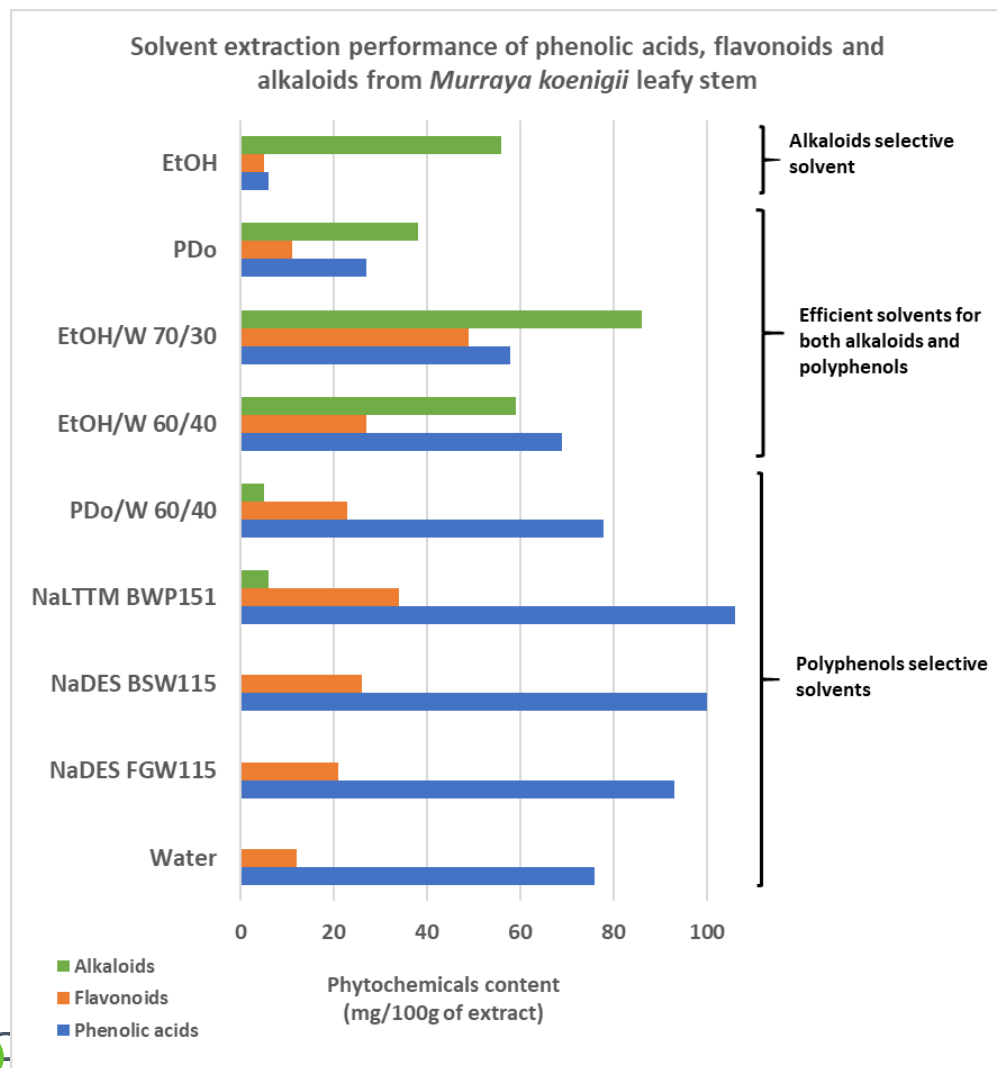
Eficácia *In vitro*

Parâmetros operacionais (viscosidade, estabilidade do solvente)

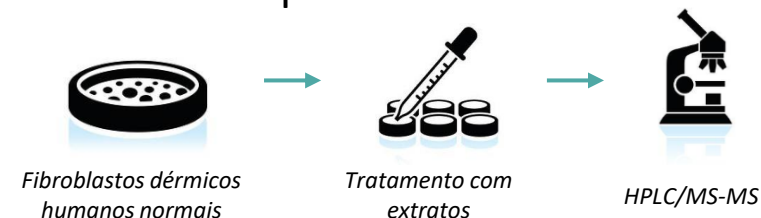
Características organolépticas (odor, cor)

UMA PLANTA, UM PROCESSO

SELEÇÃO DO SOLVENTE APROPRIADO



4 estratos selecionados para um estudo proteômico



Um único extrato vencedor usando bioinformática

# proteínas identificadas	# proteínas reguladas
2056	92

33,7% (31 proteínas) relacionadas a estrutura, formação e manutenção da matriz extracelular

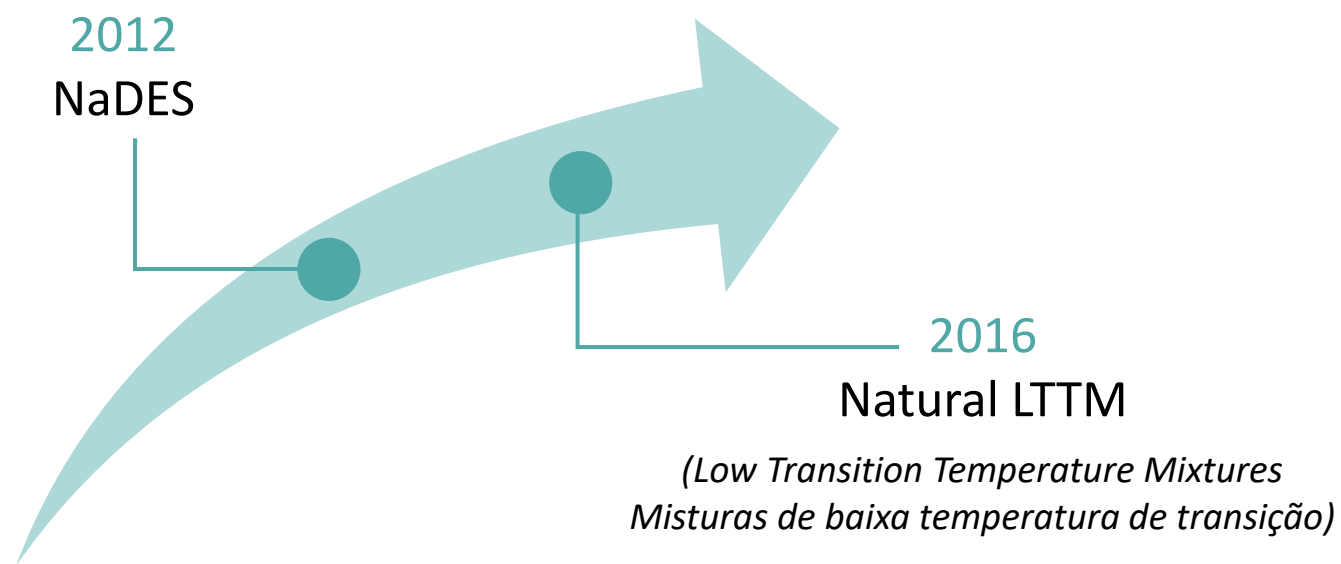
Um solvente natural LTTM Betaína/Água/Propanediol (relação molar 1/5/1)

UMA PLANTA, UM PROCESSO

BRINCANDO COM SOLVENTES NATURAIS

O manuseio de solventes ecológicos de base biológica tem sido o parque de diversões da Gattefossé por muitos anos

Extenso trabalho de pesquisa em misturas de solventes naturais



Nova geração de solvents naturais

NaLTTM

NaDES

Solventes convencionais

Água

Etanol

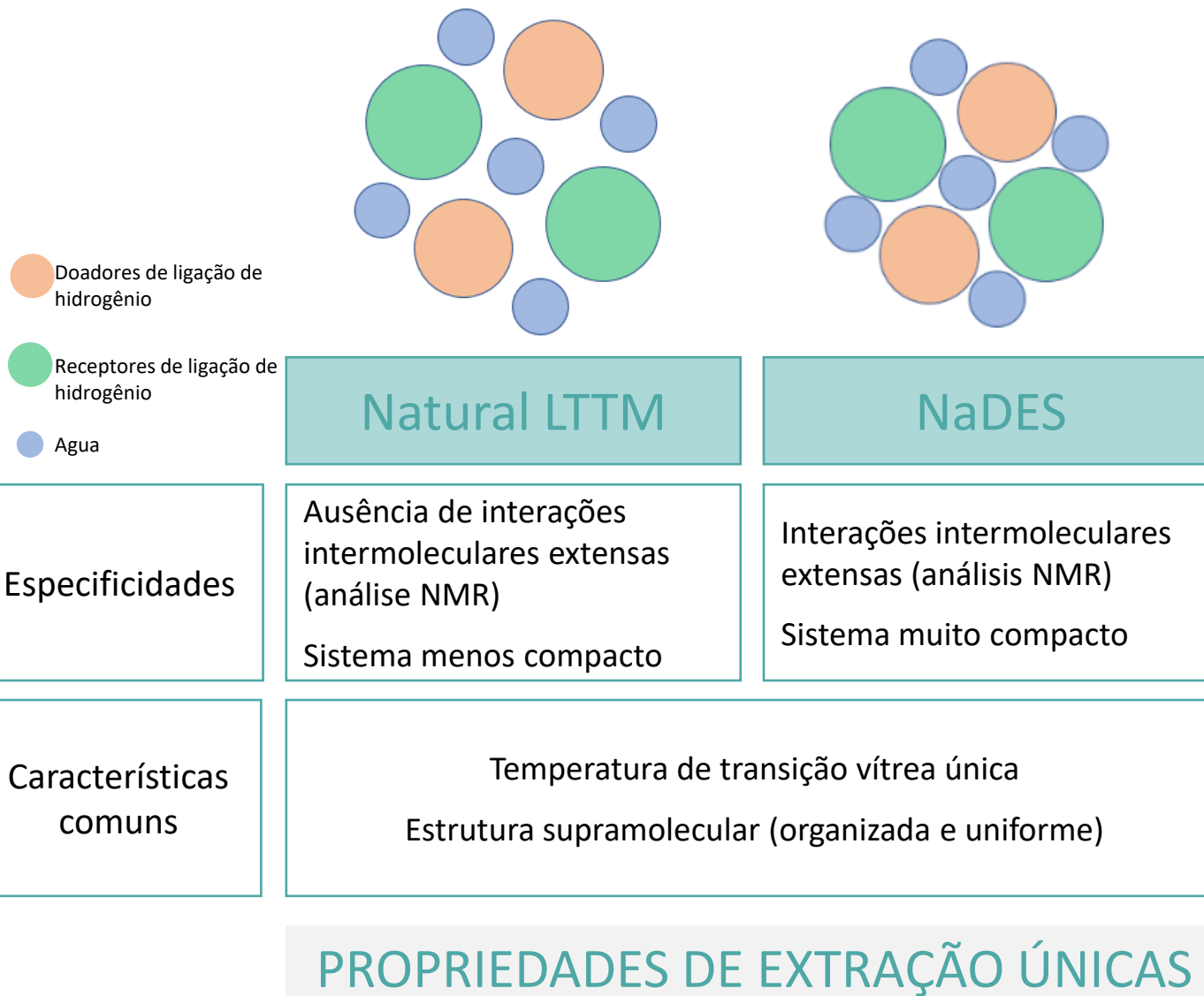
Glicóis

Outros solventes orgânicos

NATURAL LTTM

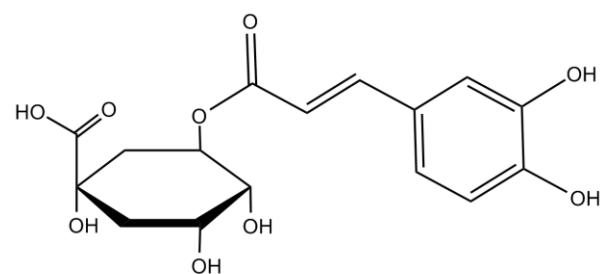
Grande família de solventes definidos como combinações de substâncias naturais em uma proporção específica e ligados entre si com interações intermoleculares de hidrogênio que resultam em uma transição vítrea única em baixa temperatura. Eles incluem NaDES.

Comparado ao NaDES, Natural LTTM exibe ligações de hidrogênio intermoleculares mais fracas, mas ainda suficientes para garantir um desempenho de extração exclusivo.



UMA PLANTA, UM PROCESSO

MOLÉCULAS ATUANDO EM SINERGIA

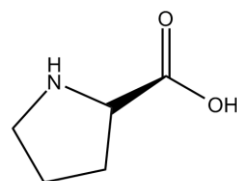


Chlorogenic acid

= 3-caffeoylquinic acid

(Phenolic acid, *p*-hydroxycinnamic acid derivatives)

CAS 327-97-9, C₁₆H₁₈O₉, MW 354,31

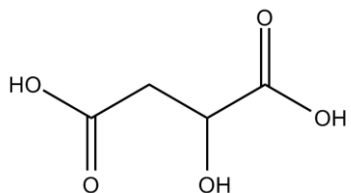


L-Proline

= Pro ; (2S)-Pyrrolidine-2-carboxylic acid

(Amino acid)

CAS 147-85-3, C₅H₉NO₂, MW 115.13



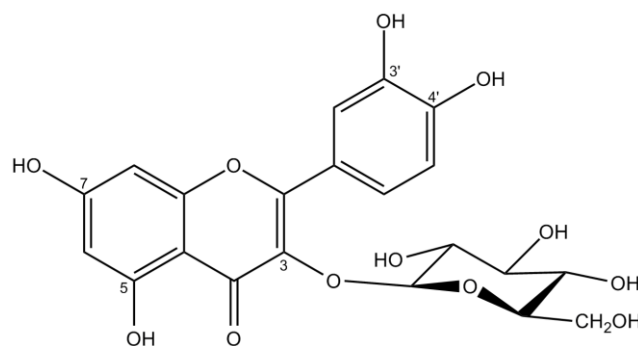
Malic acid

= DL-malic acid,

2-hydroxybutanedioic acid, 2-hydroxysuccinic acid

(Organic acid, α -hydroxyacid)

CAS 6915-15-7, C₄H₆O₅, MW 134,09



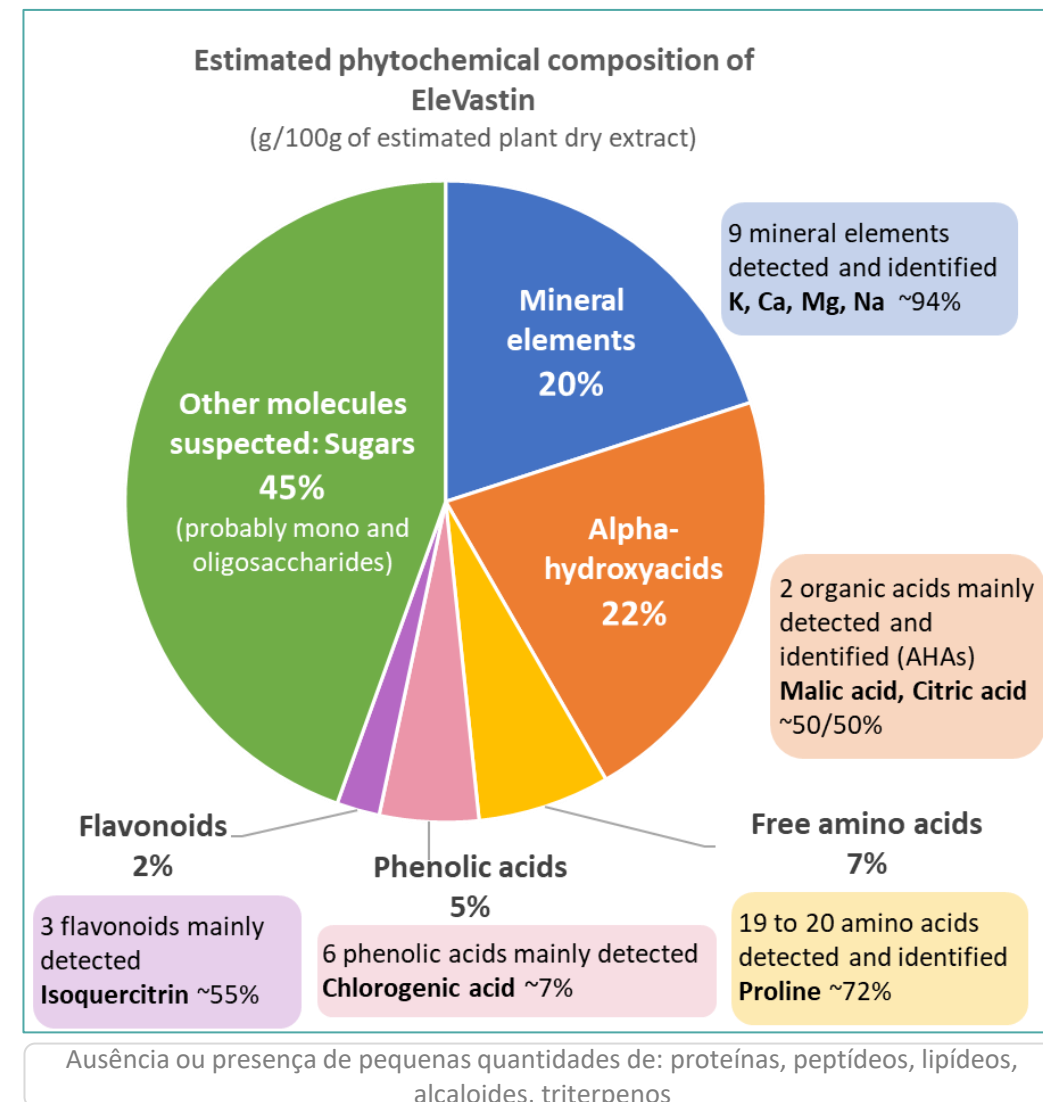
Isoquercitrin

= Quercetin-3-glucoside, Hirsutrin

(Flavonoid, Flavonol glycoside)

CAS 482-35-9, C₂₁H₂₀O₁₂, MW 464.38

~ 50 moléculas identificadas de 5 famílias:



UMA PLANTA, UM PROCESSO

PROCESSO DE FABRICAÇÃO INDIVIDUALIZADA

- Conteúdo garantido de AHAs
- Perfil fitoquímico rico
- Aparência reprodutível
- Estabilidade sem aditivos ou conservantes
- Aprovado Cosmos 
- Etapas de processamento mínimas
- 100% de conteúdo de origem natural (ISO 1 



Extração sólido-líquido

Os caules folhosos são extraídos de acordo com o método de digestão (maceração a temperatura moderada)



Separação sólido-líquido

A matéria-prima já exaurida é retirada do líquido



Filtração estéril

O produto é filtrado para garantir a segurança microbiológica

INCI:

Betaine/Water/Propanediol/Murraya Koenigii Stem Extract

03.

NA PELE

Cultura em monocamada de fibroblastos

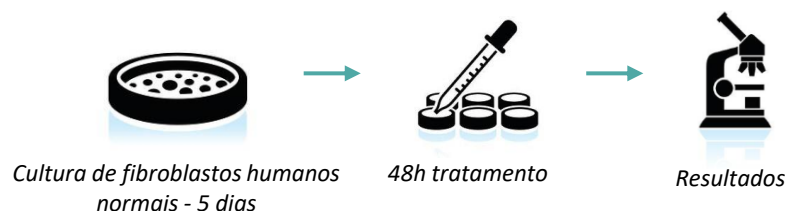
Medição das propriedades de aumento da elastogênese.



2 condições:

- **Controle:** não tratado
- **EleVastin™:** 3 concentrações

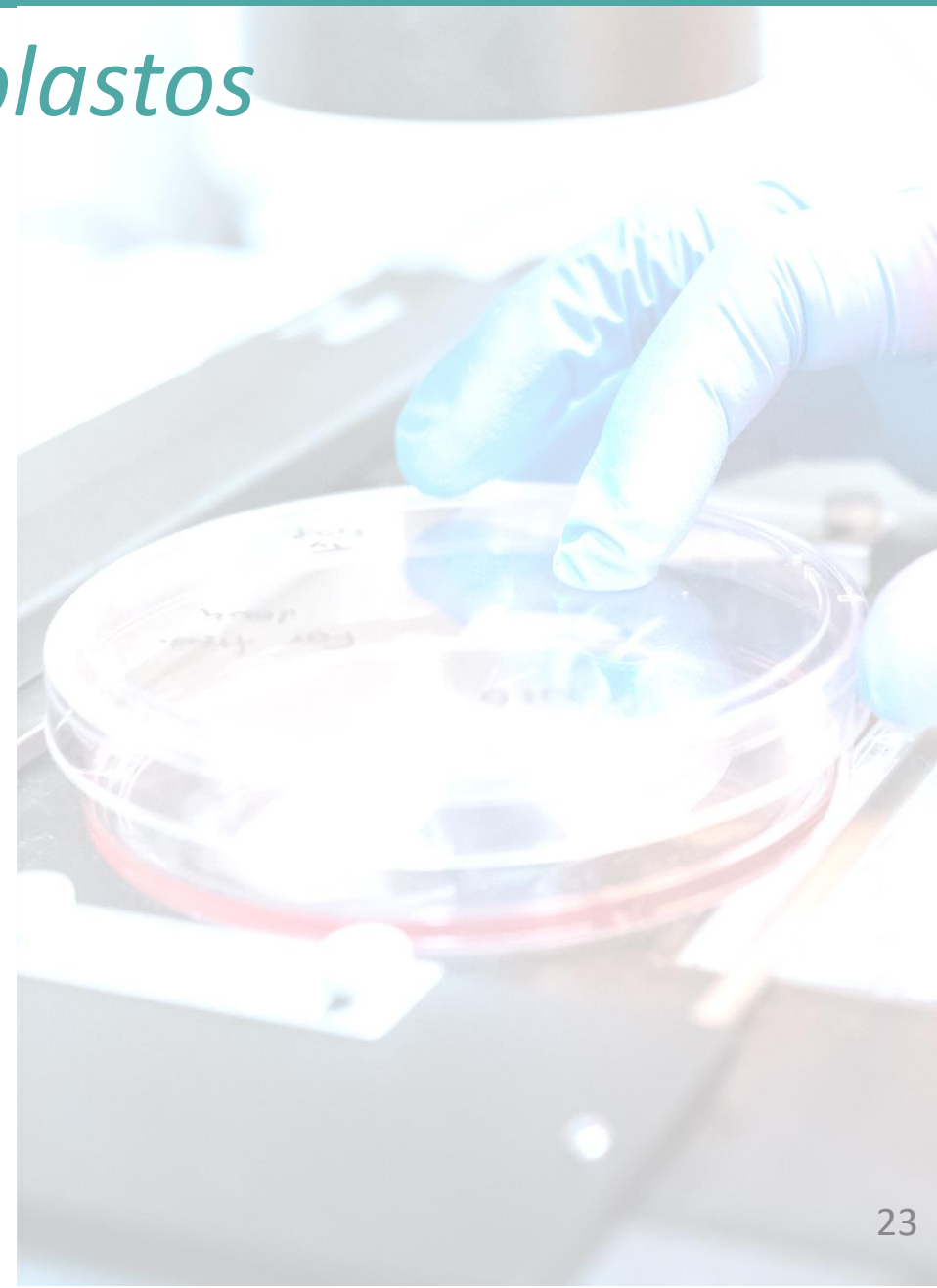
3 experimentos independentes



Análise de imunocoloração da síntese e deposição de 3 biomarcadores principais:

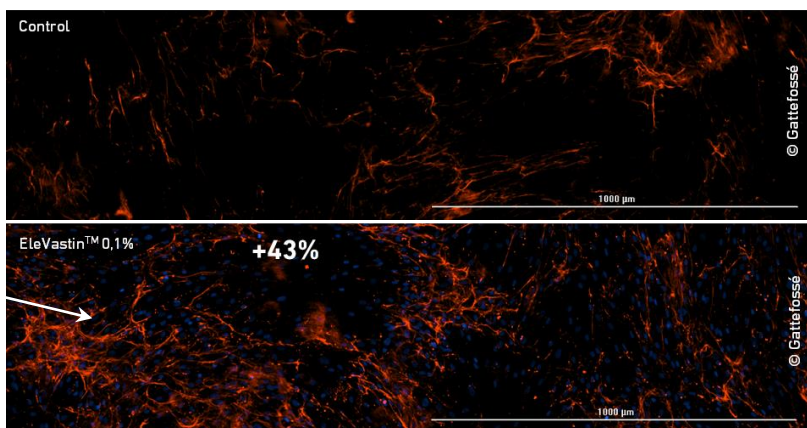
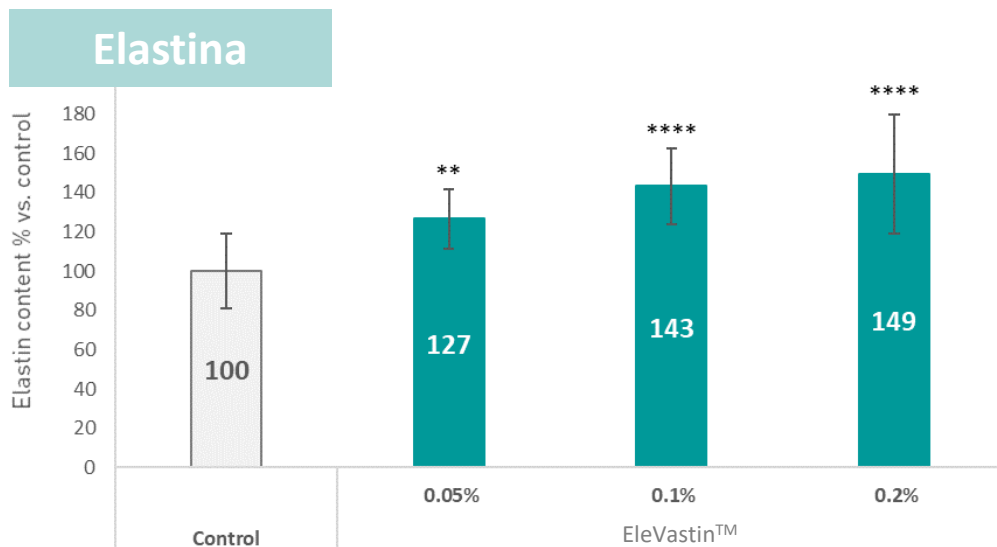
Elastina / Fibrilina-1 / Fibulina-5

Resultados em porcentagem x controle



Cultura em monocamada de fibroblastos

Medição das propriedades de aumento da elastogênese.



Depósito de elastina em vermelho

Fibrilina-1

Variação % vs. controle

+5%
ns

+23%
*

+37%

Fibulina-5

Variação % vs. controle

+24%
ns

+62%
*

+146%

0,05%

0,1%

0,2%

EleVastin™

EleVastin™ aumenta a expressão de três biomarcadores principais que estão envolvidos na síntese de fibras elásticas funcionais.

Cultura em monocamada de fibroblastos

Medição da eficácia protetora contra elastases



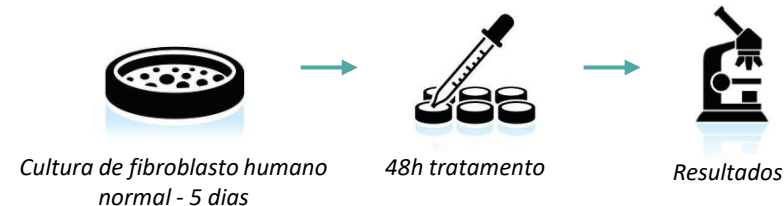
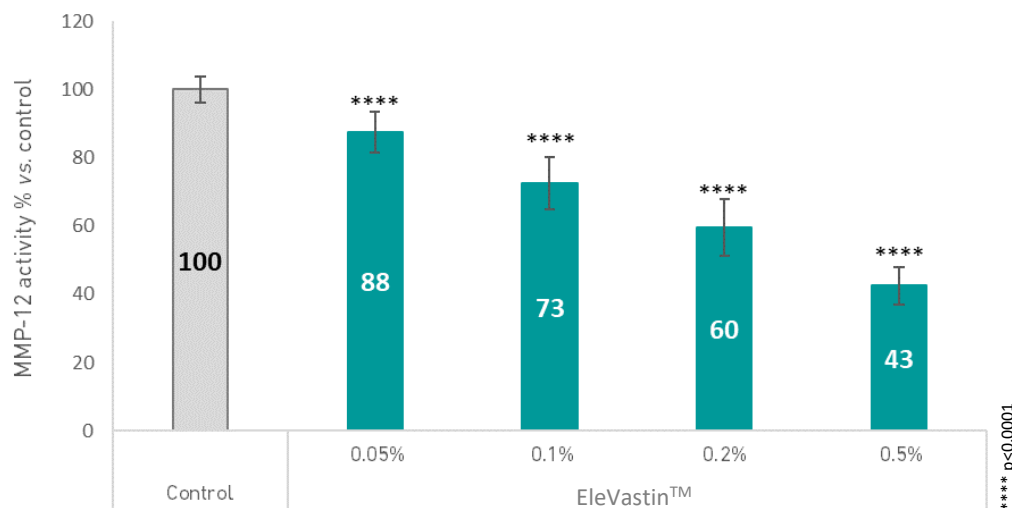
2 condições:

- **Controle:** não tratado
- **EleVastin™:** 3 concentrações

3 experimentos independentes

Medição da atividade enzimática de MMP-12 por ensaio enzimático fluorimétrico

Resultados em porcentagem vs. controle



EleVastin™ inibe a atividade da MMP-12 (a elastase mais ativa) de forma dose-dependente e, portanto, protege as fibras contra degradação adicional.

Modelo de pele de bioengenharia 3D

Medição das propriedades de aumento da elastogênese



2 condições:

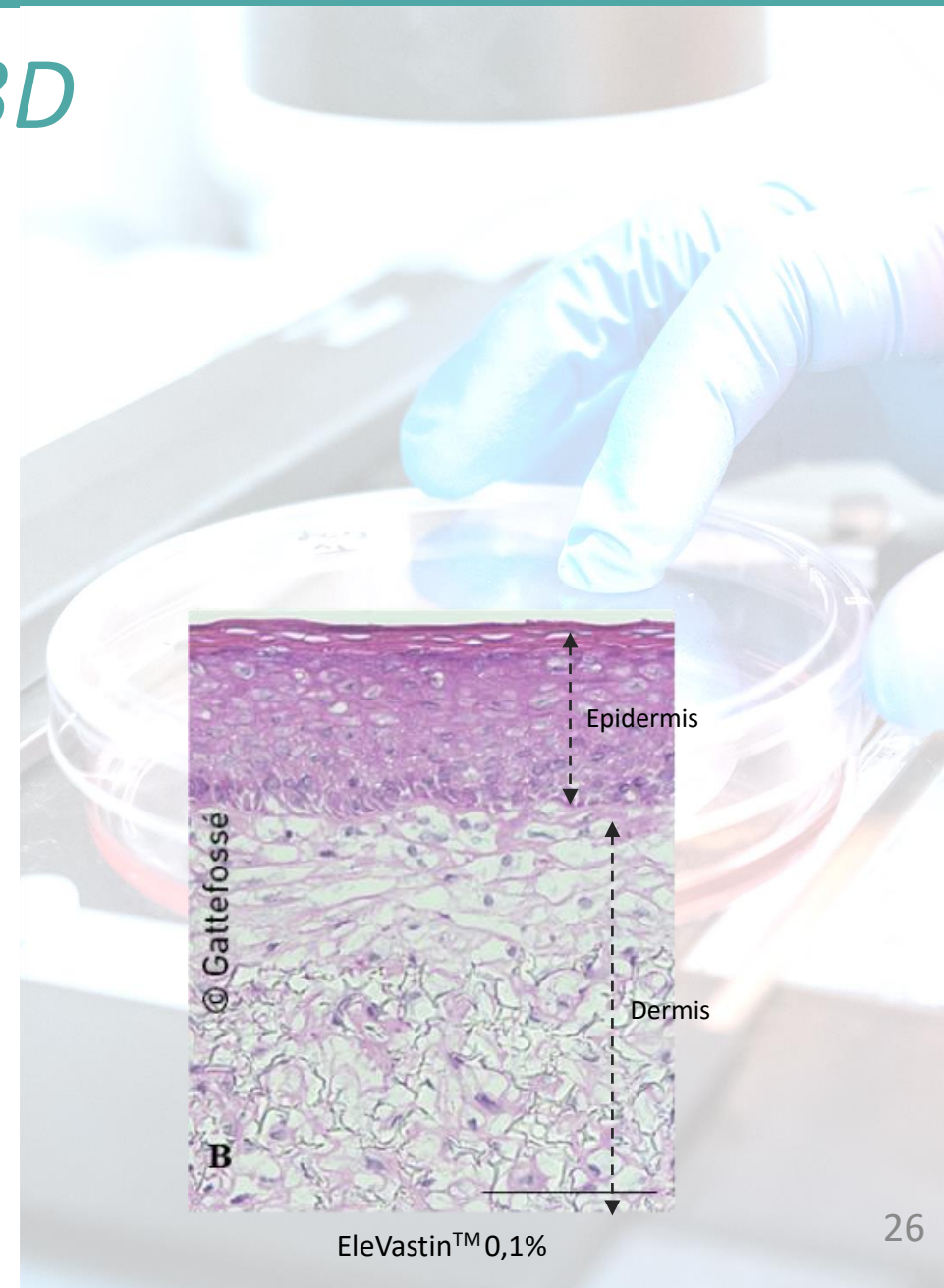
- **Controle:** não tratado
- **EleVastin™ 0,1%**

3 experimentos independentes



Análise de imunocoloração da síntese e deposição de Elastina e Fibrilina-1

Resultados em porcentagem vs. não tratado



Modelo de pele de bioengenharia 3D

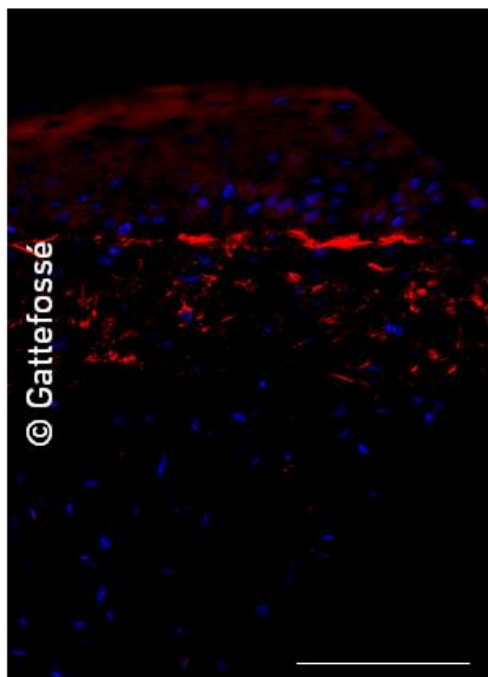
Medição das propriedades de aumento da elastogênese



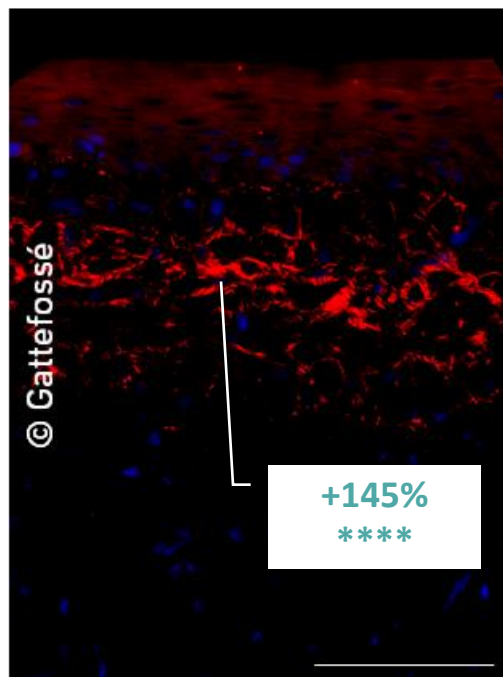
ELASTINA

Varição % vs. controle

Elastin / DAPI



Controle

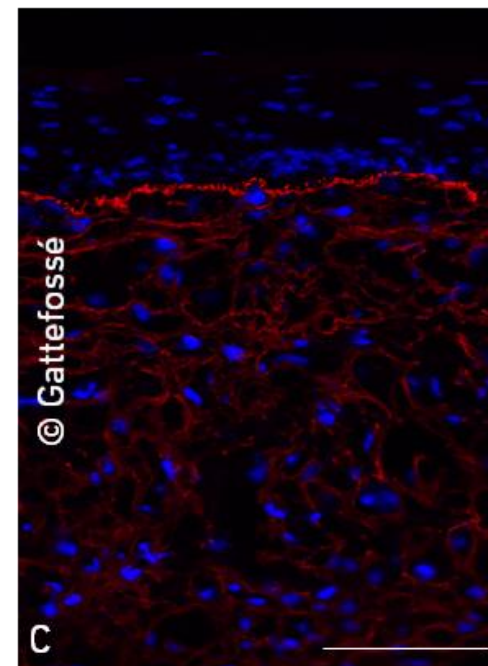


EleVastin™ 0,1%

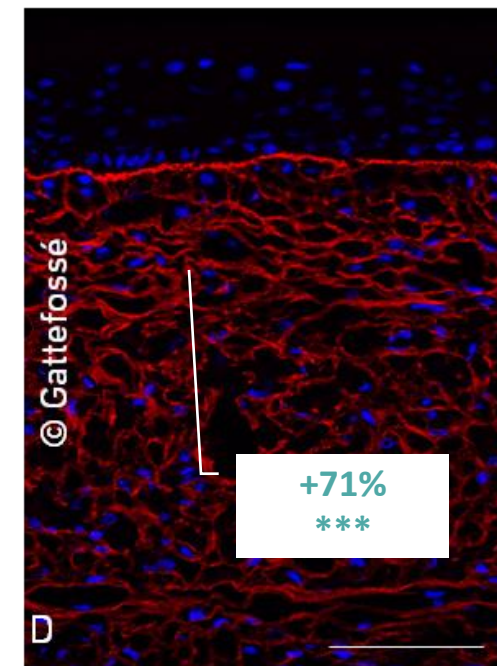
FIBRILINA-1

Varição % vs. controle

Fibrillin-1 / DAPI



Controle



EleVastin™ 0,1%

**** p<0.0001 / *** p<0.001

Em um modelo 3D mais complexo, mais próximo da pele, EleVastin™ foi confirmado como um potencializador da neossíntese de fibra elástica.

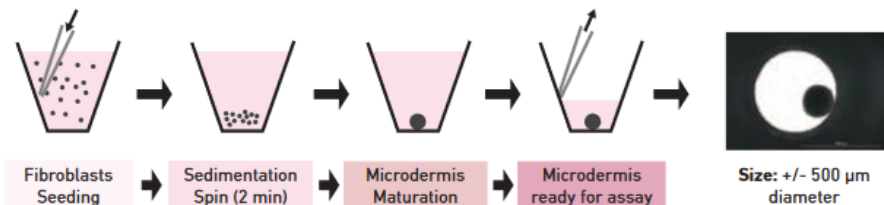
Modelo esferoide

Medição dos efeitos nas propriedades biomecânicas



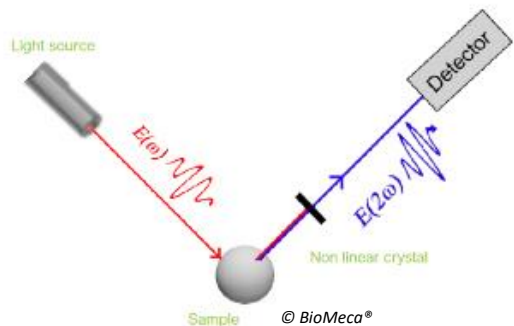
Microtecido 3D sem suporte

Modelo avançado obtido utilizando apenas células, na ausência de MEC artificial como suporte (utilizadas em modelos de pele 3D padrão), evitando interferências na medição das propriedades biomecânicas. Modelo aplicável para medir propriedades biomecânicas *in vitro*.

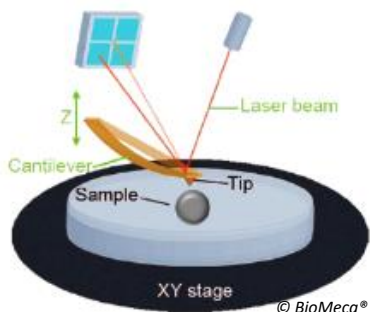


Análise de:

Densidade de fibras elásticas por microscopia de geração de segundo harmônico (SHGM)



Rigidez relacionada da microderme usando microscopia de força atômica (AFM)



STRUCTURAL AND BIOMECHANICAL PROPERTIES OF A NOVEL 3D MICRODERMIS MODEL: THE SPHEROID



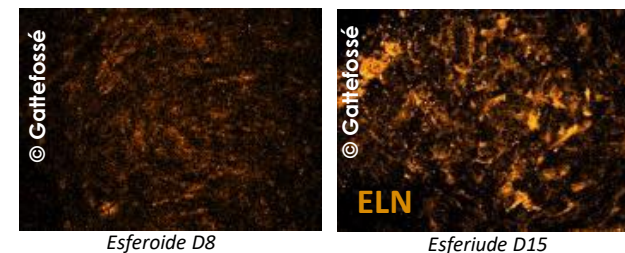
Chloé Lorion PhD¹, Amandine Lopez-Gaydon¹, Sébastien Bonnet¹, Anna Drillat², Pascale Milani² PhD, Nicolas Bechetoille¹ PhD

¹ Gattefossé - 36 chemin de Genas - CS 70070 - 69804 SAINT-PRIEST Cedex - France; ² BioMeca SAS, 46 allée d'Italie, Lyon, France

A microderme 3D sem suporte foi desenvolvida e usada para caracterizar propriedades biomecânicas *in vitro*.

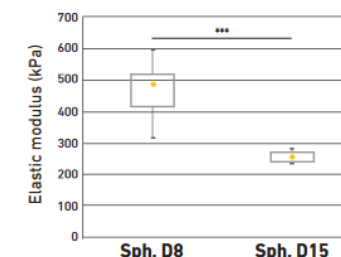
1. A densidade das fibras elásticas aumenta em D15 vs. D8

Microscopia por geração de segundo harmônico

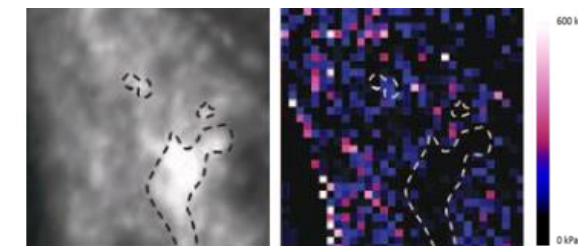


2. Melhoria das propriedades biomecânicas: redução da rigidez dérmica

Microscopia de força atômica



3. Correlação entre área rica em elastina e redução da rigidez do tecido



Posters released at 49th ESDR meeting 2019 and 31st IFSCC Congress 2020

Lorion C, Lopez-Gaydon A, Bonnet S, Drillat A, Milani P and Bechetoille N 2019, Structural and biomechanical properties of a novel 3D microdermis model: the spheroid, *Journal of investigative dermatology*, 139, 9S (S2): S321 (P619)

Modelo esferoide

Medição das propriedades biomecânicas



2 condições:

- **CONTROLE** não tratado
- **EleVastin™ 0,1%**

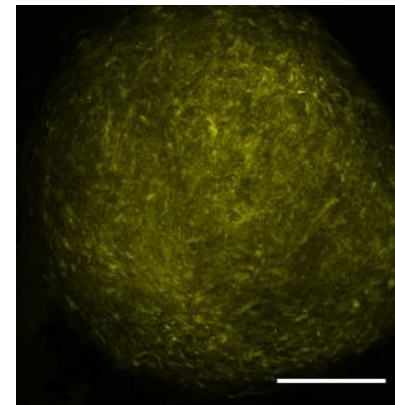
Resultados em porcentagem vs. controle

Usando este modelo avançado e ferramentas analíticas, foi finalmente comprovado que EleVastin™ aumenta a densidade das fibras elásticas e ao mesmo tempo reduz a rigidez dérmica relativa.

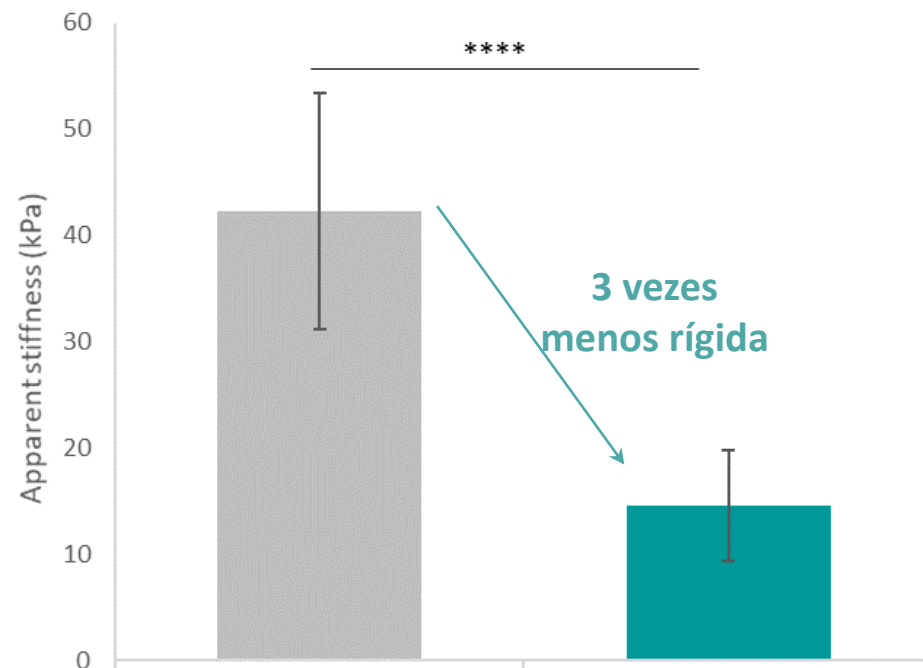
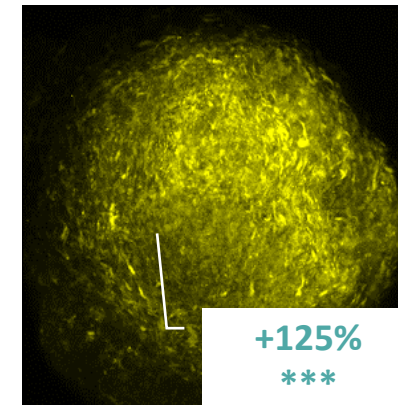
Densidade das
fibras elásticas

Rigidez dos
tecidos

Controle



EleVastin™ 0,1%





04.

CLINICAMENTE COMPROVADO

ATIVO ANTIGRAVIDADE

Ao mesmo tempo que promove a elasticidade da pele, EleVastin™ oferece um suporte inegável para a pele sob a pressão da gravidade.

Limita o efeito imperceptível, mas inevitável da gravidade nas características faciais inferiores, reduz a flacidez da pele e define melhor os contornos faciais.



OBJETIVO:

Avaliação da eficácia antiflacidez de um creme contendo 1% de EleVastin™ versus placebo em mulheres com pele madura.



PLANO:

Estudo em painel com 2 áreas de aplicação

- Estudo de uma fórmula ativa em todo o rosto (+ pescoço), no modo aberto e intraindividual
 - Estudo duplo-cego de fórmula ativa versus placebo em antebraços
- Aplicação duas vezes ao dia durante 3 meses e meio (final de janeiro - início de maio)

Estudo realizado sob controle dermatológico

CLINICAMENTE COMPROVADO



PAINEL:

37 mulheres brancas

Fotótipos I a III

47 a 69 anos (média: 60,2 ± 6,3)

Todos os tipos de pele

Índice de massa corporal: 19,3 a 28,4 (média = 23,5 ± 2,8)

4 CRITÉRIOS DE INCLUSÃO ESPECÍFICOS (pontuação clínica)

1

Flacidez facial*

nível ≥ 3



2

Sulco nasogeniano *

nível ≥ 3



3

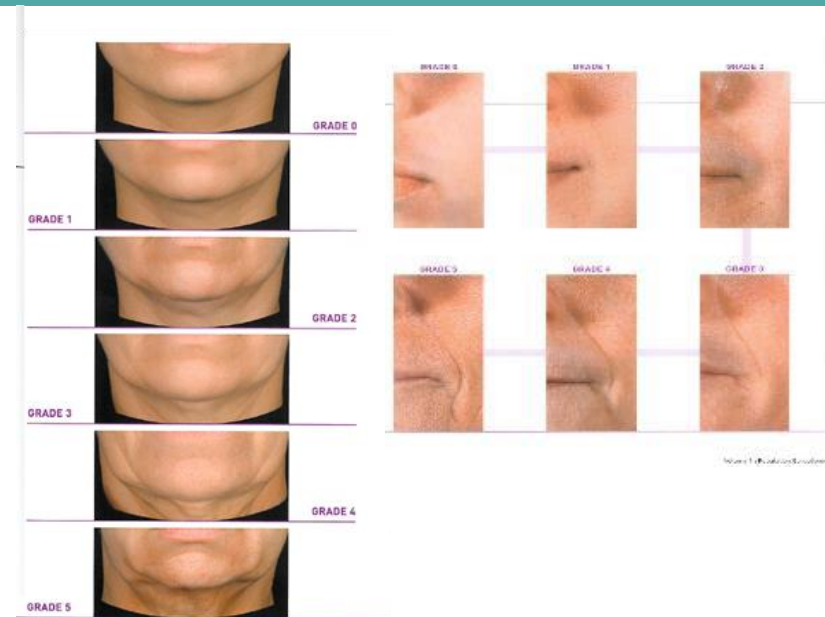
Sinais visíveis de envelhecimento na parte inferior do rosto

*Rugas criadas por ptose na parte inferior da face ** E / OU textura degradada da pele nas bochechas*



4

Textura da pele degradada no pescoço (linhas finas e rugas)





MÉTODOS DE AVALIAÇÃO

Aceitabilidade da pele sob controle dermatológico: classificada como muito boa

Rosto / pescoço / antebraços

Cutometria

Rosto e antebraços

Aquisições 3D com AEVA-HE e análise de imagem

Rosto

Pontuação clínica *in vivo*

Rosto / pescoço

Impacto da gravidade / pontuação clínica *in vivo*

Rosto

Pontuação clínica em aquisições 3D

Rosto

Autoavaliação

Rosto e pescoço

Idade aparente

Rosto



Pontuação clínica



PROTOCOLO:

Pontuação do esteticista

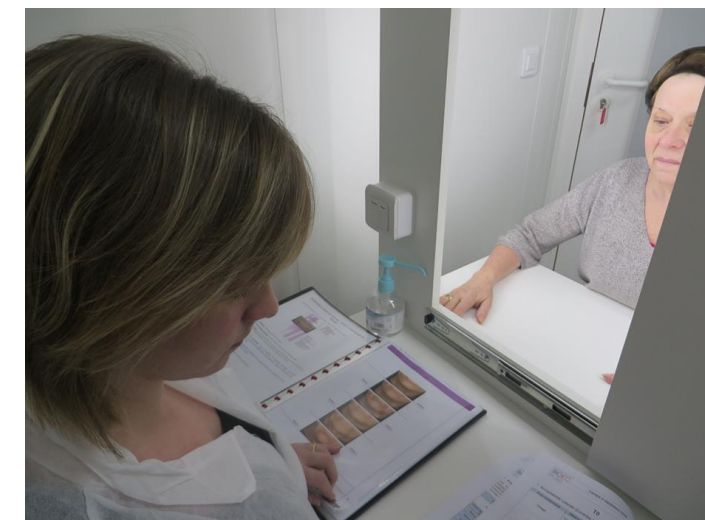
Avaliação sensorial (visual ou tátil) de diferentes critérios com base em uma escala de 10 pontos ou com base em um atlas de referência

Dias: D0, D28 e D98

Área: rosto e pescoço



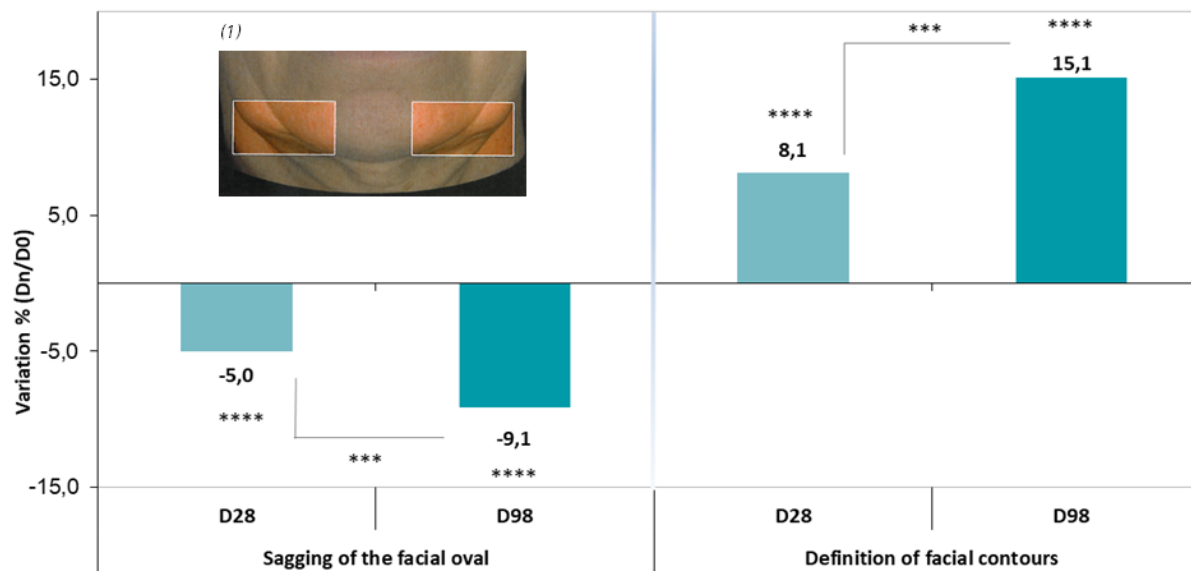
BIO-EC



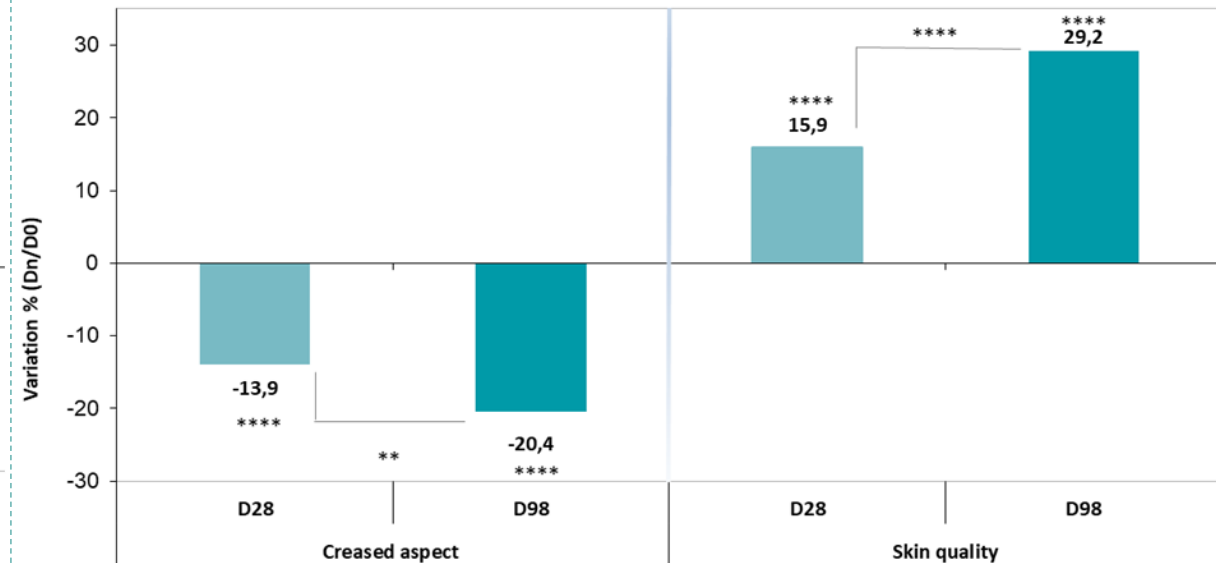
CLINICAMENTE COMPROVADO



Rosto: efeito antiflacidez



Pescoço: melhora da qualidade da pele



x,* p < 0,05 // **p<0,01 // ***p<0,001 //****p<0,0001
n=37

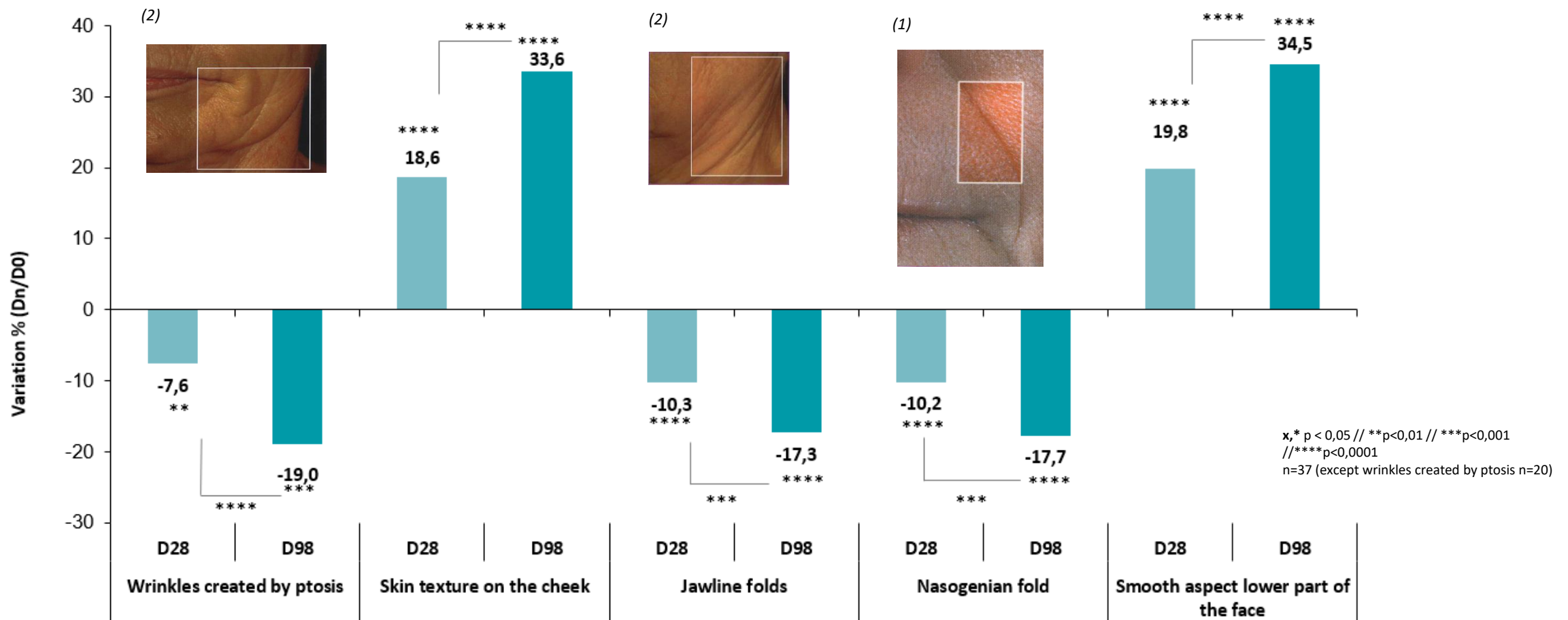
Os critérios relacionados à flacidez da pele melhoram substancialmente com o tempo, assim como a aparência da pele.



CLINICAMENTE COMPROVADO



Parte inferior do rosto: efeito *lifting*



Observa-se um efeito *lifting*, principalmente na parte inferior do rosto.
 Rugas verticais são significativamente reduzidas.



Fotos antes e depois



D0



D98

Vol. 44



D0



D98

Vol. 23

Impacto da gravidade

PROTOCOLO:

Com base na pontuação clínica de uma esteticista em 2 posições: supino / sentado:

- Supino: posição na qual os efeitos da gravidade sobre a visibilidade dos sinais de envelhecimento são mínimos
- Sentado : posição na qual os efeitos da gravidade sobre a visibilidade dos sinais de envelhecimento são máximos

Dias: D0 e D98

2 critérios avaliados:

- Visibilidade dos sulcos nasogenianos (escala de 5 pontos)
- Visibilidade da papada (escala de 5 pontos)

Uma pontuação geral de 10 pontos é calculada somando a pontuação dos 2 critérios

CÁLCULO:

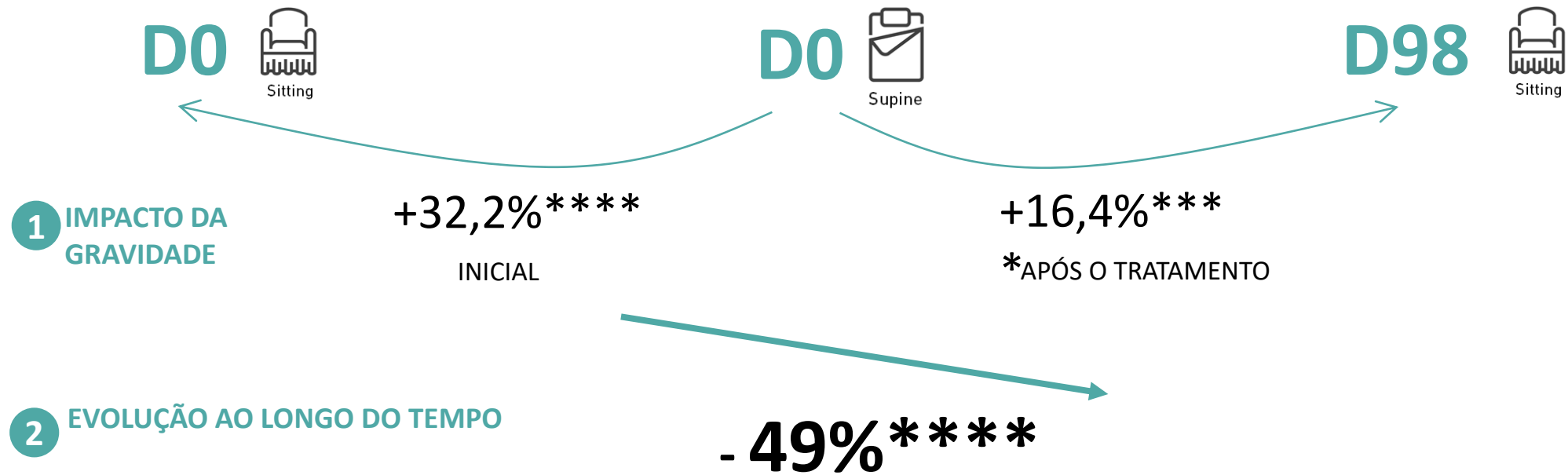
O impacto da gravidade no rosto corresponde à comparação da pontuação global (visibilidade da papada + sulcos nasogenianos) obtido na posição sentada em D0 (impacto inicial) ou D98 (impacto após tratamento) vs. pontuação global do D0 em decúbito dorsal (dados de referência de menor gravidade).



CLINICAMENTE COMPROVADO



Vol44



O ingrediente ativo reduz significativamente o impacto da gravidade sobre os sinais de envelhecimento no rosto em -49%.



Cutometria

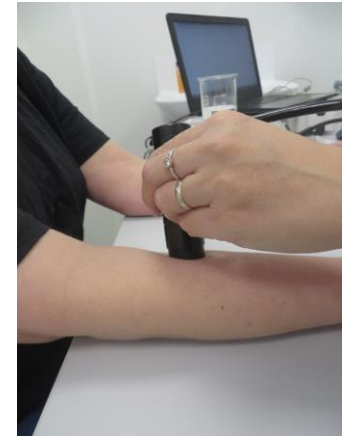
DISPOSITIVO

Cutômetro MPA580 Courage & Khazaka

Medição da deformação de uma área de pele submetida a uma força de sucção mecânica e seu poder de recuperação. A resistência da pele e sua capacidade de retornar à posição original são calculadas.

ÁREAS DE INTERESSE

Rosto e antebraços



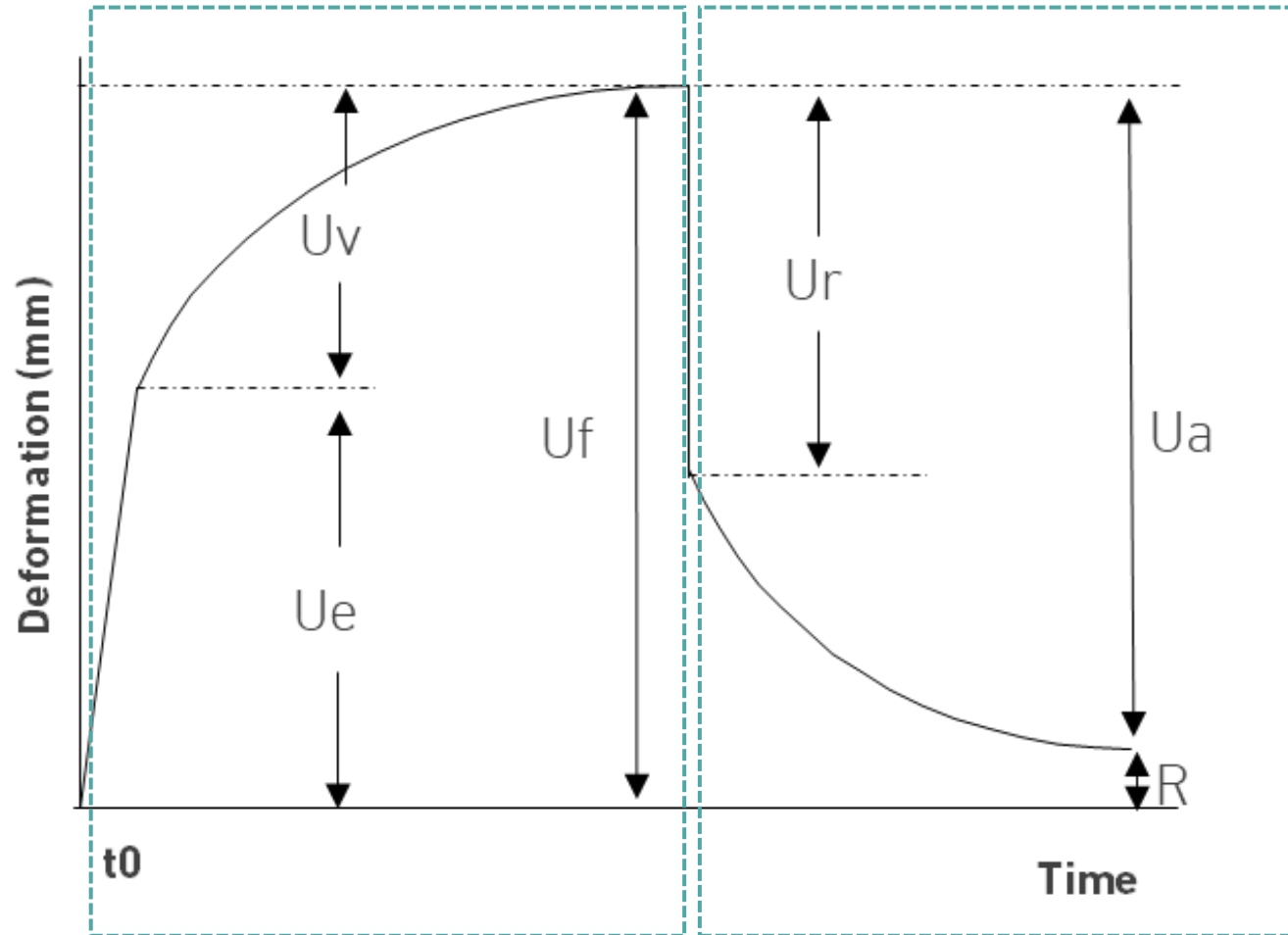
BIO-EC



CLINICAMENTE COMPROVADO



PARÂMETROS MEDIDOS E CARACTERÍSTICAS ASSOCIADAS



- Elasticidade biológica ($R7 = U_r / U_f$)
- Elasticidade efetiva ($R5 = U_r / U_e$)
- Elasticidade bruta ($R2 = U_a / U_f$)
- Tonicidade (U_r)
- Retração final (U_a)

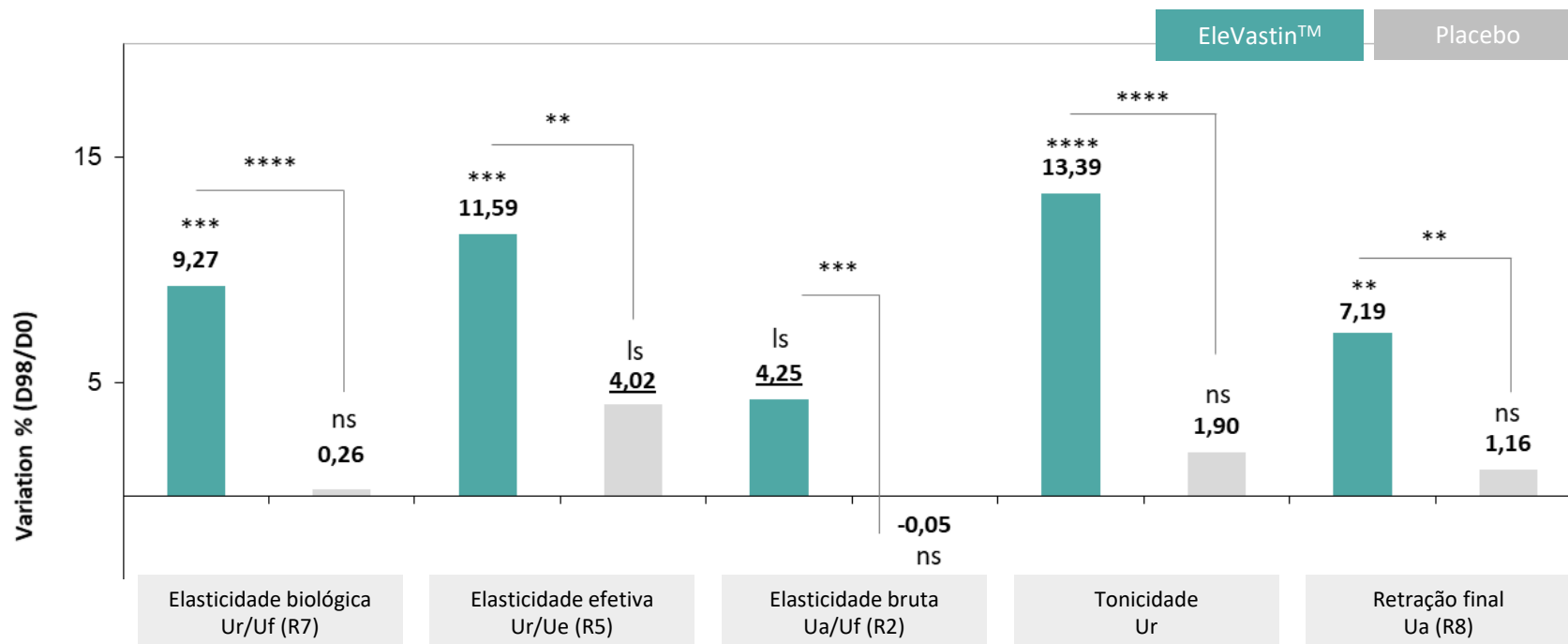
U_e : deformação imediata: extensibilidade
 U_v : deformação viscoelástica: plasticidade
 U_f : deformação total: distensibilidade

U_r : retração imediata/ recuperação elástica: tonicidade
 U_a : retração final
 R : deformação residual

CLINICAMENTE COMPROVADO



Antebraços



*p < 0,05 // **p < 0,01 // ***p < 0,001 // ****p < 0,0001

ls : 0,05 ≤ p < 0,10

ns: p ≥ 0,10

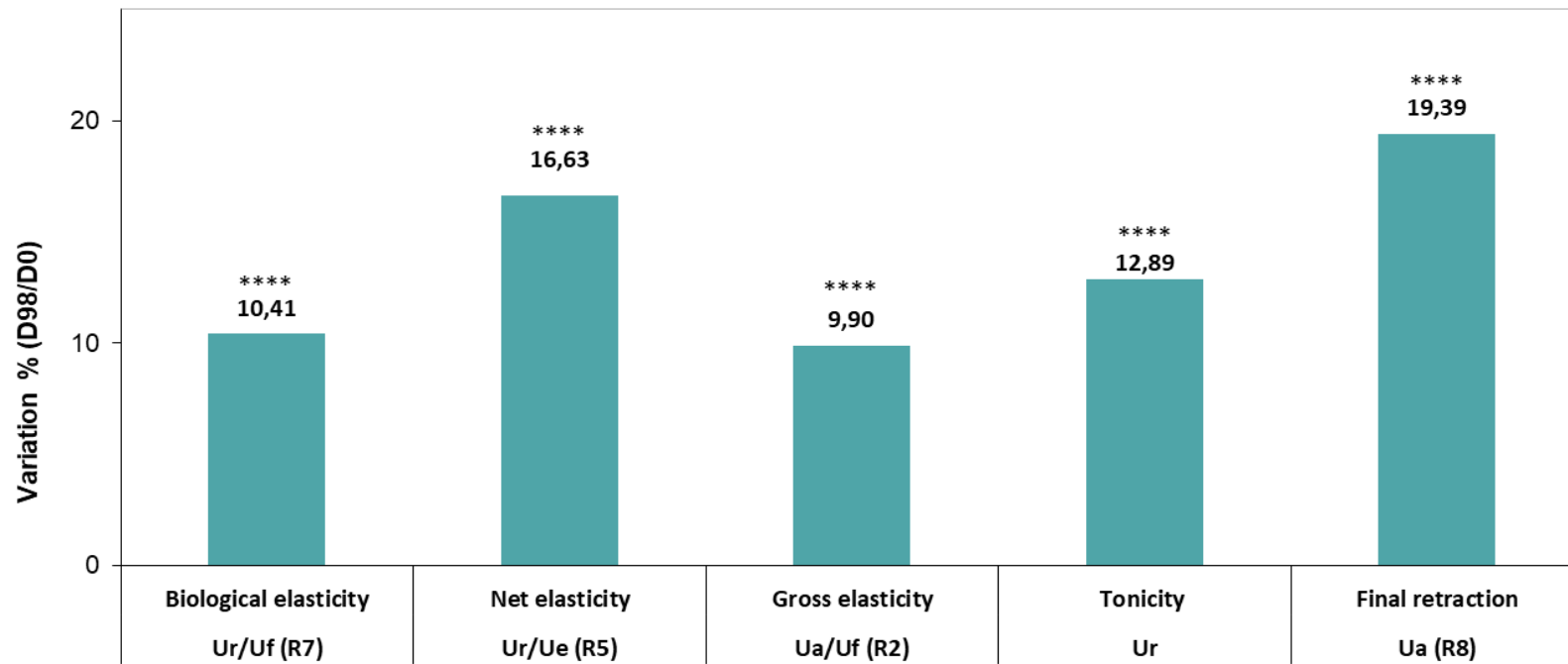
n=28

Os diferentes parâmetros relacionados à elasticidade da pele melhoram significativamente em relação ao placebo .

CLINICAMENTE COMPROVADO



Rosto



****p<0,0001
n=28

A propriedade de aumento da elasticidade de EleVastin™ é confirmada no rosto.

CLINICAMENTE COMPROVADO



Aquisições 3D e análise de imagens

PROTOCOLO

Projeção periférica usando dispositivo AEVA-HE (Eotech)

Reconstruções 3D de todo o rosto

Voluntárias sentadas em um banco

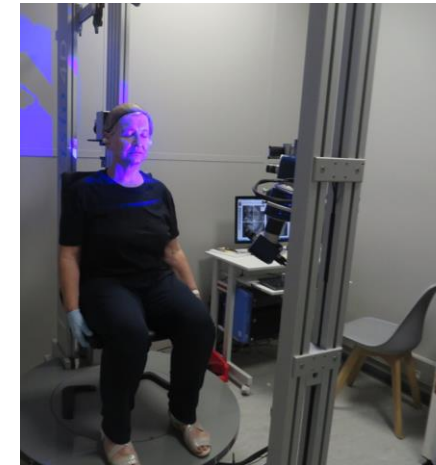
Dias: D0 e D98

ANÁLISE DE IMAGEM

Volume do contorno facial

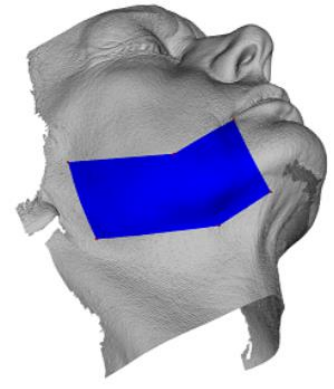
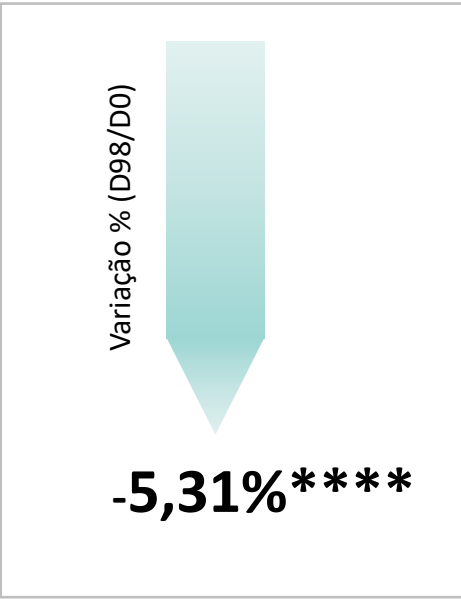
Sulcos nasogenianos

Rugas e linhas finas nas bochechas





Volume do contorno facial



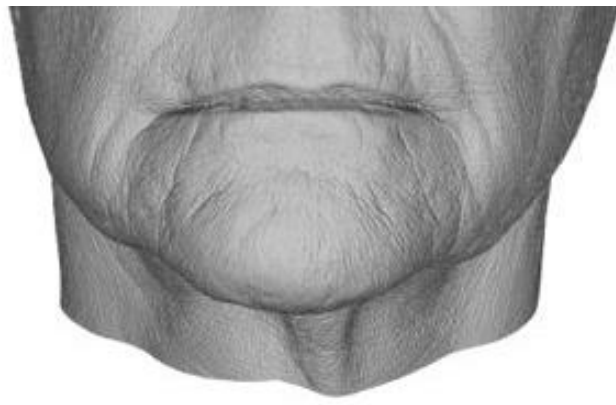
Definição de área específica em D0 e registro espacial em D98



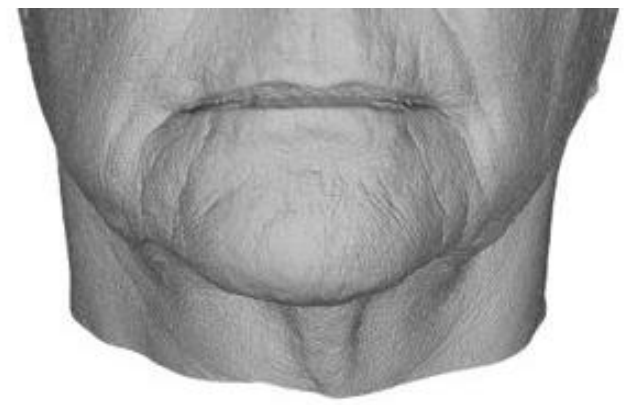
Extração de uma área específica



Cálculo do volume do contorno convexo da superfície = volume interno em mm3



D0

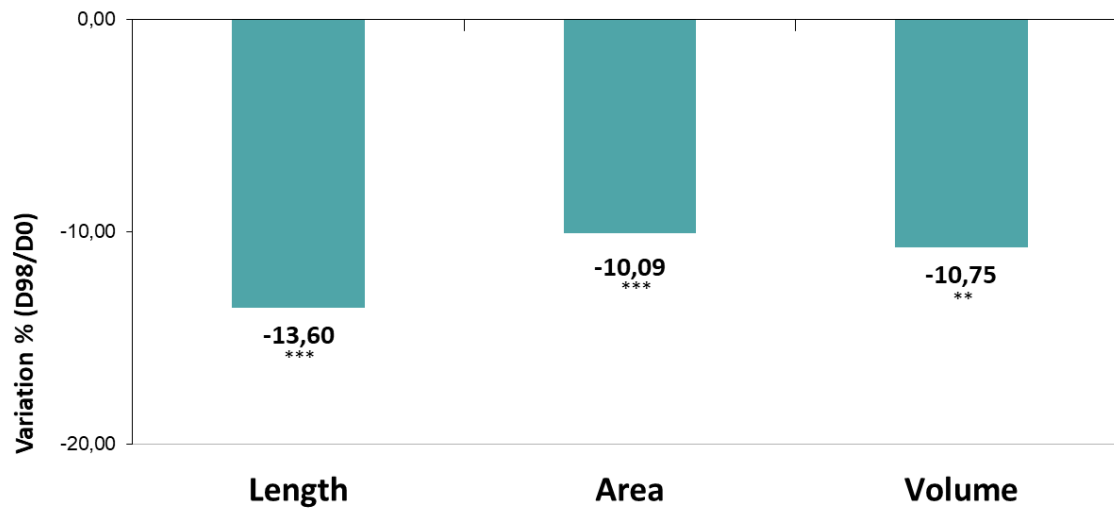


D98

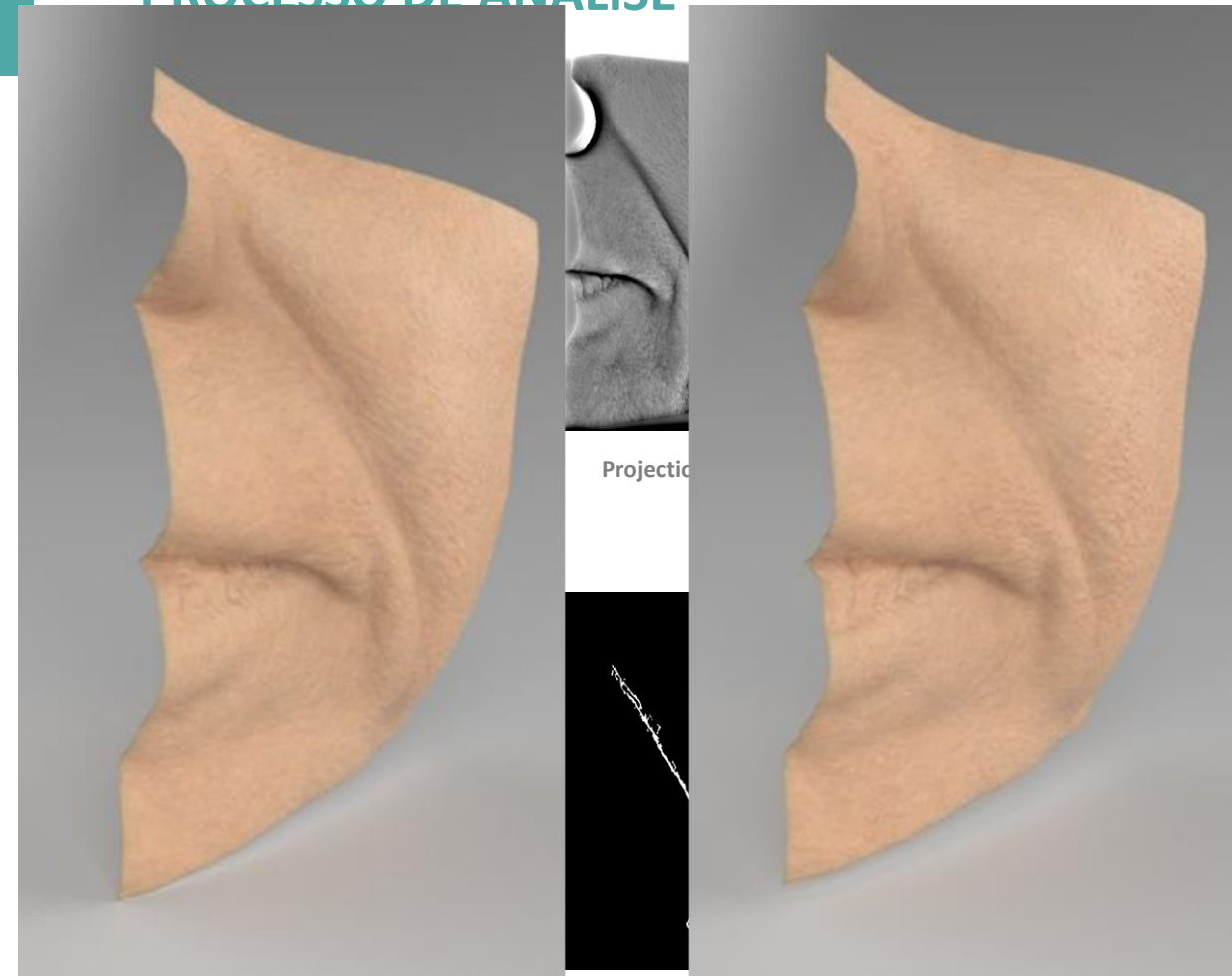
Vol. 6



Sulco nasogeniano



X **p<0,01 // ***p<0,001
n=16



Definição da área de interesse ao redor do sulco
D0

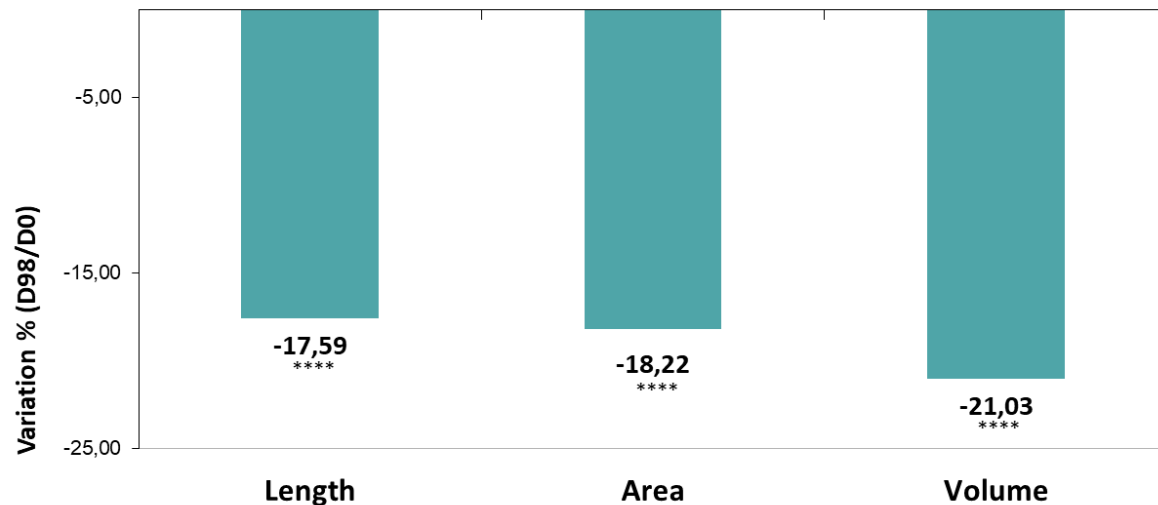
Segmentação pós-tratamento: tamanho mínimo de rugas, eliminação de falsas detecções
Vol 5

Ilustração: aplicando a segmentação mais recente a uma foto 2D projetada
D98

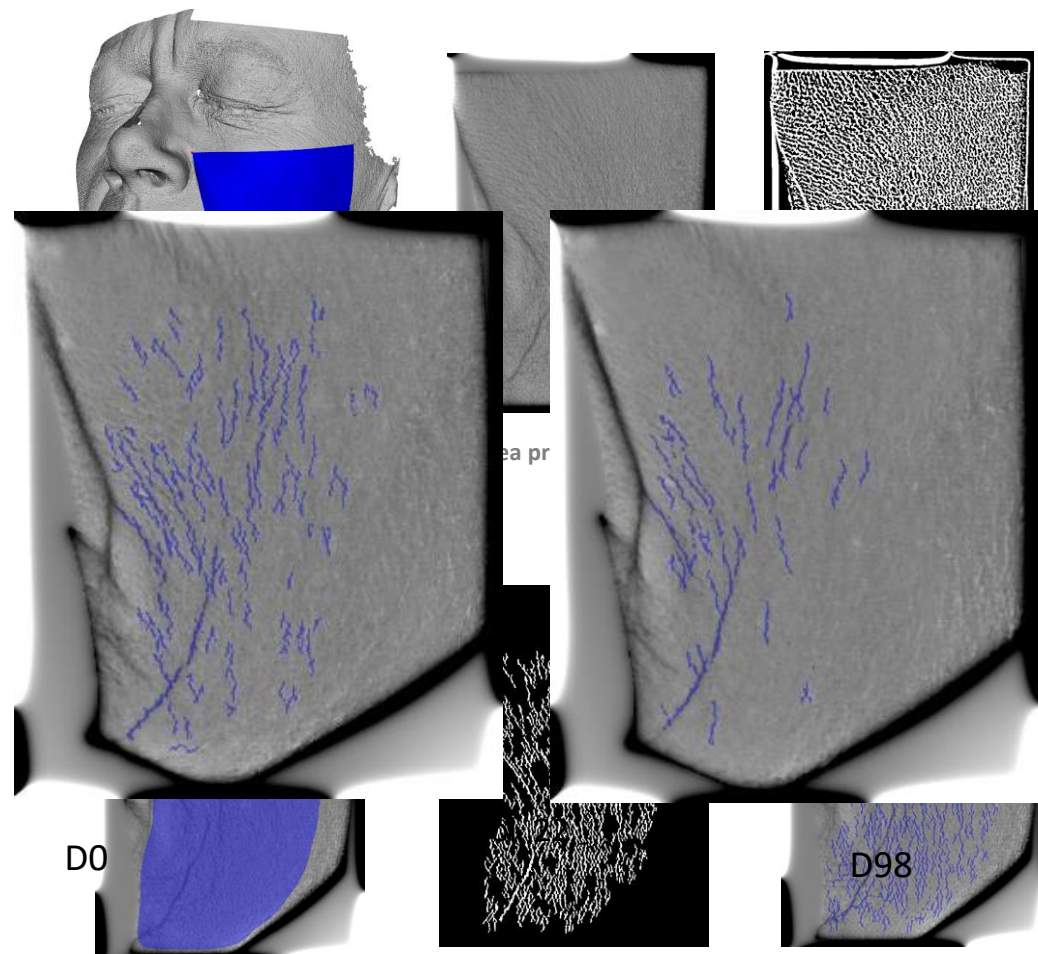
A intensidade do sulco nasogeniano é reduzida significativamente.



Linhas finas e rugas na bochecha



x****p<0,0001
n=15



D0

Definição de uma área de interesse excluindo a dobra nasogeniana

Segmentação pós-tratamento: tamanho mínimo das rugas, eliminação de falsas detecções.

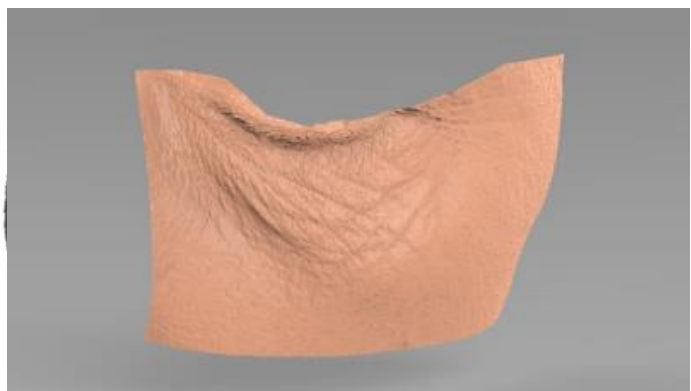
D98

Ilustração: aplicando a segmentação mais recente a uma foto 2D projetada

Rugas e linhas finas na bochecha são menos visíveis.

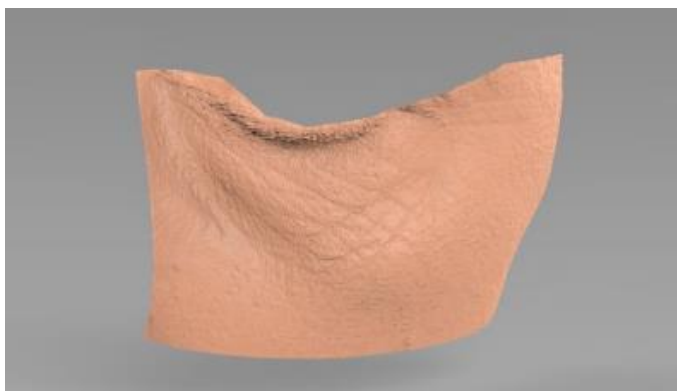


Pontuação clínica baseada em aquisições 3D *

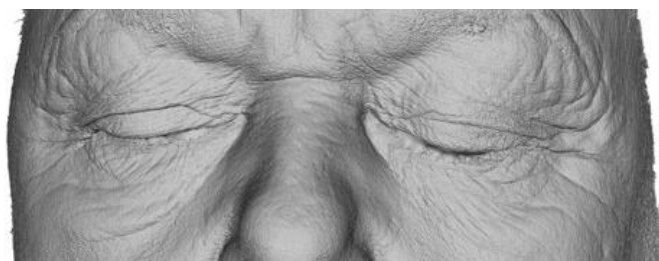


D0

Vol. 18

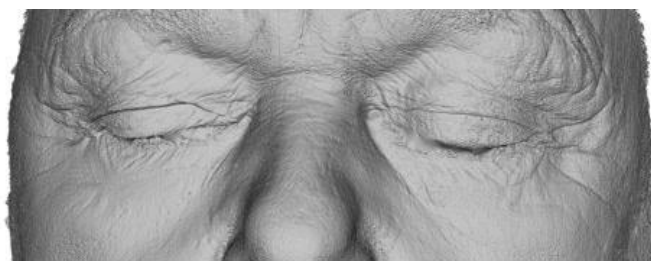


D98



D0

Vol. 7



D98

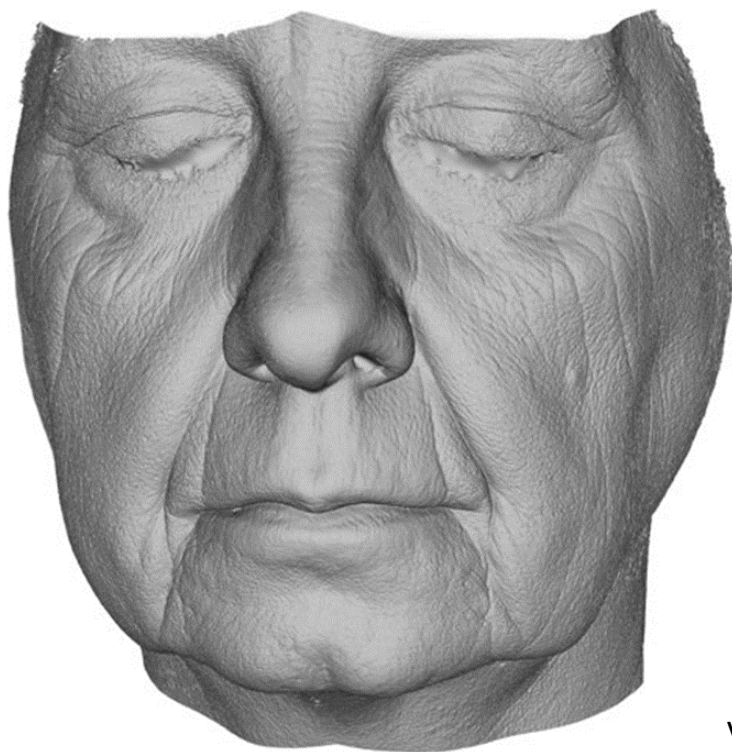
Rugas sob os olhos:

-23%****

****p<0,0001
n=31

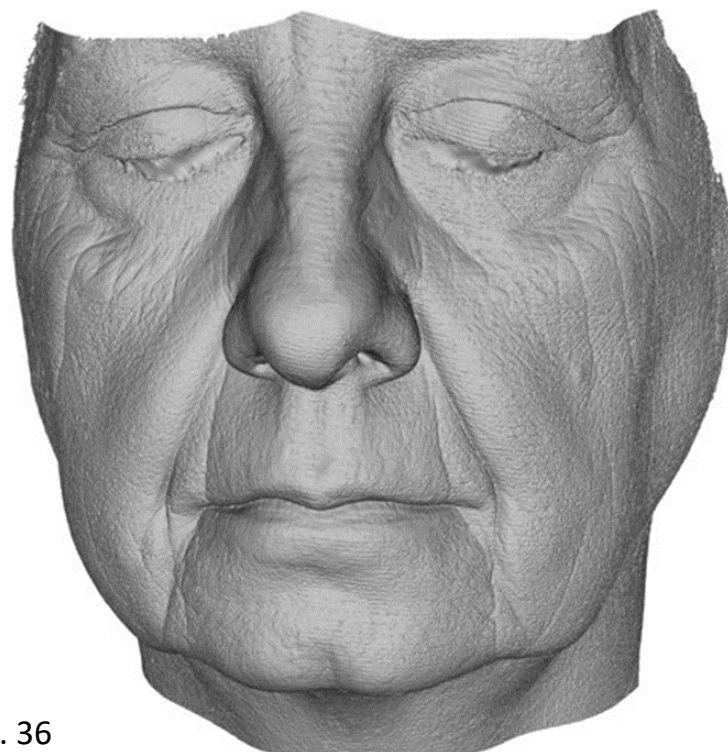


Pontuação clínica baseada em aquisições 3D



D0

Vol. 36



D98

Rugas na bochecha(2):

-13%*

*p<0,05
n=26

Bochechas de aparência suave:

+13%***

***p<0,001
n=32



Auto avaliação

PROTOCOLO:

Avaliação realizada pelos próprios voluntários sob a supervisão de um técnico treinado

Avaliação sensorial (visual e / ou tátil) de diferentes critérios com base em uma escala de 1 a 10

Dias: D0, D28, D56, D98



CLINICAMENTE COMPROVADO



	D28	D56	D98	
Contorno facial	Aspecto de firmeza/ “lifted”	14,6%****	23,0%****	37,3%****
	Definição do contorno facial	12,0%****	21,6%****	32,2%****
Rugas – parte inferior do rosto	Rugas e linhas finas	-6,7%****	-11,5%****	-19,4%****
	Aparência suave	15,7%****	28,5%****	45,1%****
Pescoço	Aparência enrugada	-10,5%***	-15,1%***	-22,0%****
	Qualidade da pele	13,7%****	23,4%****	34,1%****

As voluntárias perceberam claramente os efeitos do ativo na parte inferior de seus rostos. Sua avaliação melhora de forma significativa e constante com o tempo.

p<0,001 //*p<0,0001
n=37

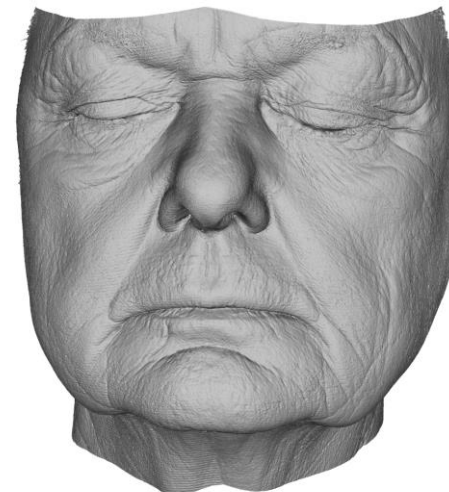


Idade aparente

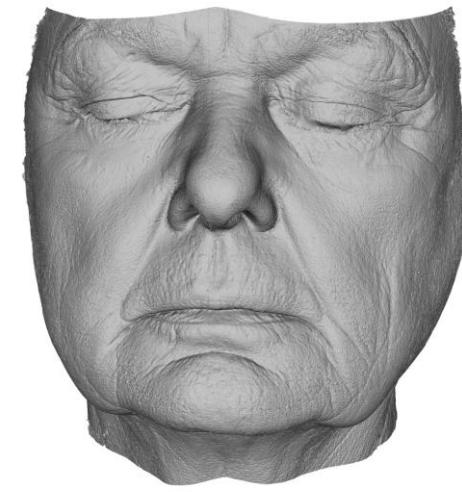
PROTOCOLO:

Avaliação da idade percebida por 2 avaliadores treinados

Com base em aquisições 3D nos dias D0 e D98, exibidas aleatoriamente em pares (30 pares - 60 respostas), com o software PhotoScale® desenvolvido pela Newton Technologies. O avaliador seleciona a imagem que considera mais jovem.



D0



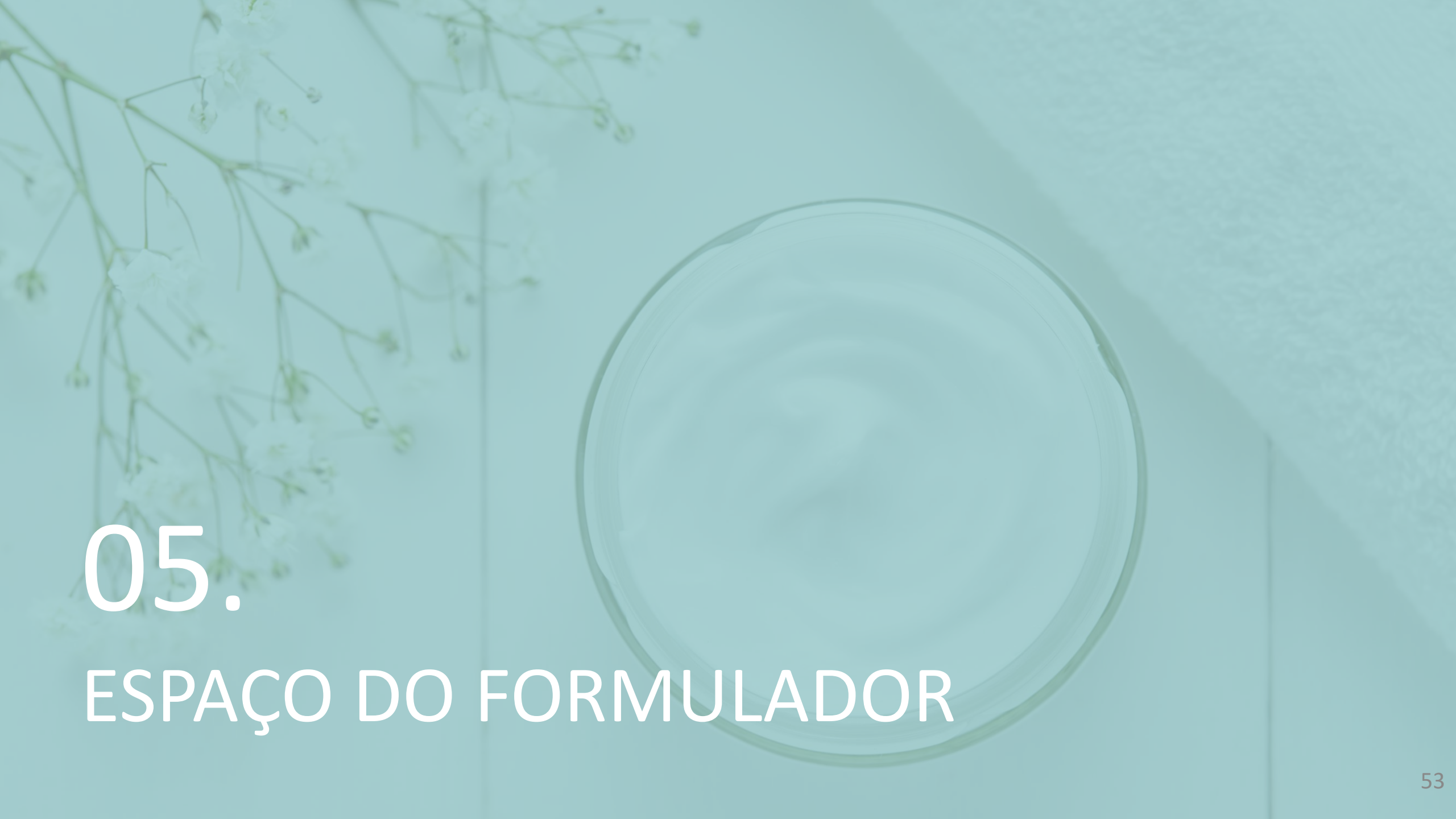
D98

Vol. 7



RESULTADOS: 45 respostas para a imagem pós tratamento

Em **75%** dos casos, as voluntárias parecem mais jovens ao final do estudo (vs. D0)****



05.

ESPAÇO DO FORMULADOR

Características e aplicações

CARACTERÍSTICAS:

Estimula e protege a elasticidade da pele

Reduz o impacto da gravidade.

Limita a flacidez da pele

Redesenha o contorno facial

Reduz rugas profundas e verticais.

APLICAÇÕES:

Cuidado facial: linhas antienvelhecimento para peles maduras, tratamentos dedicados aos contornos faciais e produtos antigravidade em forma de V, alternativas ao lifting líquido.

Cuidados com o corpo: cremes para remodelar / modelar

Cuidado solar: produtos com propriedades antienvelhecimento

Sculpt facial
contours



Avène, DermAbsolu, Serum fondamental
Treat loss of density and volume, sagging skin, face contours less defined and loss of vitality and comfort. Leave the facial oval visibly redesigned

V-shaped
faces



Yves Saint Laurent | Y Shape serum
A firming serum that targets loss of elasticity to visibly lift, define and sculpt contours of the face.

Neck, chin and
décolleté



Vichy | Neovadiol Phytosculpt face and neck contours
Tightening and firming balm for menopausal skin that redefines and firms the appearance of neck and face contours



INCI: Betaine/water/Propanediol/Murraya Koenigii Stem Extract



Regulamentação

Aprovado globalmente

Listado no IECIC 2015



Uso

Concentração de uso recomendada: 1%

Líquido marrom, límpido a opalescente



Naturalidade

Sem conservantes

Validado COSMOS

Conteúdo de origem natural (ISO 16128) 100%



Patente

Solicitação de patente apresentada



FREE FROM GRAVITY

EleVastin™ é um ativo de origem natural cujo alvo são os elementos-chave na síntese e manutenção das fibras elásticas qualitativas e funcionais.

Ao mesmo tempo em que estimula a elasticidade da pele, EleVastin™ oferece um suporte inegável para a pele submetida diariamente à pressão da gravidade.



Uso de planta medicinal

Extraído do caule folhoso de *Murraya Koenigii*, planta Ayurveda



Obtido com a expertise avançada da Gattefossé na manipulação de solventes

Um extrato natural LTTM



Assinatura fitoquímica específica

Rico em flavonoides, ácidos fenólicos e alfa-hidroxiácidos.



Modelos 3D avançados

Colaboração científica em microtecidos esferoides



Ingrediente ativo antigravidade comprovado

Clinicamente comprovado



Patenteado

Solicitação de patente apresentada